

第二章

静电场

2011-3-15

重庆大学电气工程学院

第2章 静电场

- 1、库伦定律 电场强度
- 2、静电场的无旋性 电位
- 3、静电场中的导体与电介质
- 4、高斯定律
- 5、静电场基本方程 介质分界面上的衔接条件
- 6、电位的微分方程与边值问题
- 7、静电场的间接求解方法
- 8、电容与部分电容
- 9、静电能量与力

1. 库伦定律 电场强度

1. 库伦定律

库伦定律是静电现象的基本实验定律，真空中两个静止的点电荷 q_1 与 q_2 相距为 R 时，其相互作用力：

$$F_{21} = \frac{q_1 q_2}{4\pi\epsilon_0} \cdot \frac{e_{12}}{R^2} \quad \text{N (牛顿)}$$

$$F_{12} = \frac{q_1 q_2}{4\pi\epsilon_0} \cdot \frac{e_{21}}{R^2} \quad \text{N (牛顿)}$$



两点电荷之间的作用力

$$F_{21} = -F_{12}$$

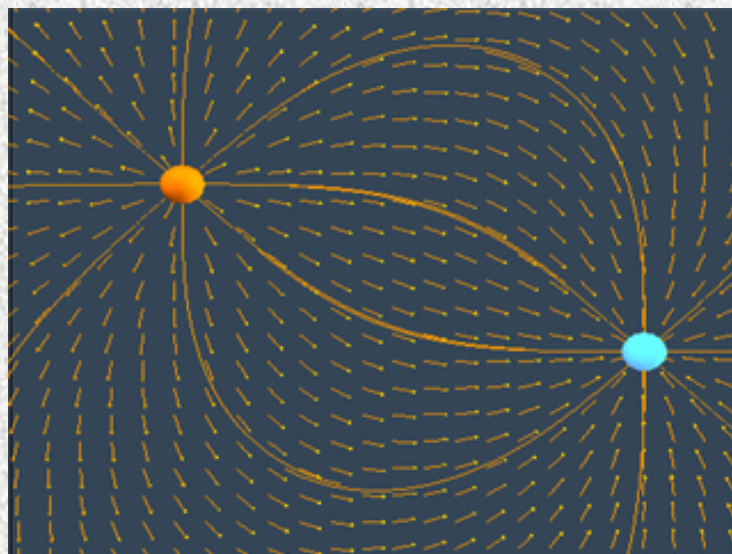
式中 $\epsilon_0 = \frac{10^{-9}}{36\pi} = 8.85 \times 10^{-12} \text{ F/m}$)

2. 电场强度

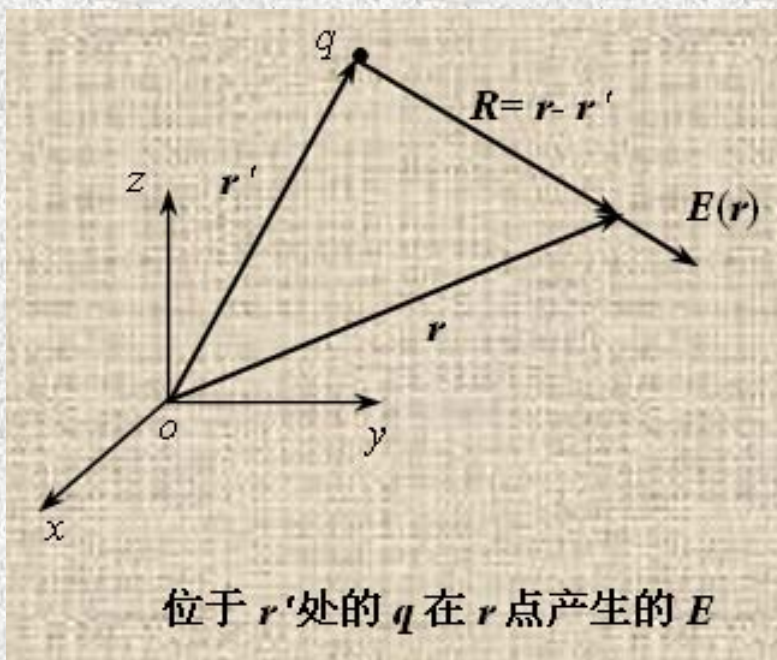
定义:

$$E(x, y, z) = \lim_{q_t \rightarrow 0} \frac{F(x, y, z)}{q_t} \quad \text{V/m (N/C)}$$

电场强度 (Electric Field Intensity) E 表示单位正电荷在电场中所受到的力(F), 它是空间坐标的矢量函数, 定义式给出了 E 的大小、方向与单位。



1) 点电荷产生的电场强度

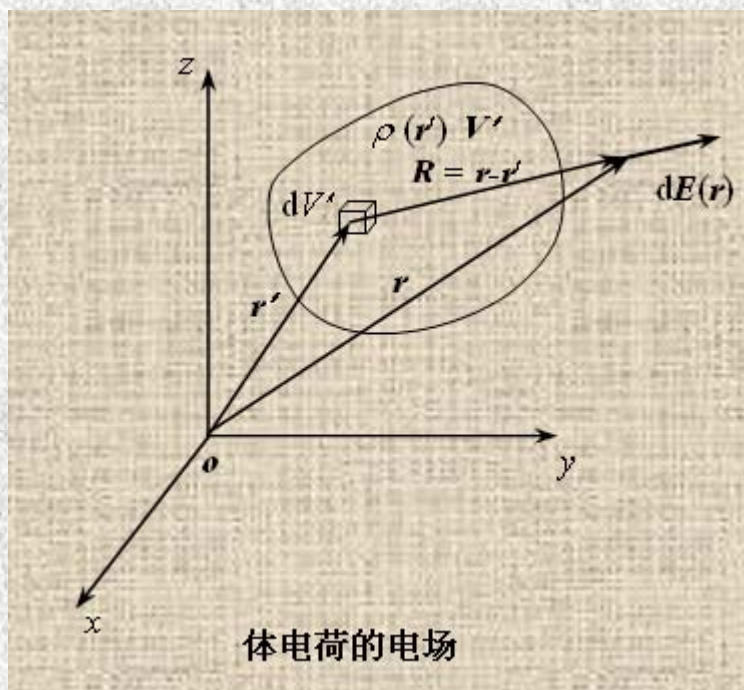


$$\mathbf{F} = \frac{q q_t}{4\pi\epsilon_0} \cdot \frac{\mathbf{e}_r}{r^2}$$

$$\mathbf{E}(\mathbf{r}) = \frac{\mathbf{F}}{q_t} = \frac{q}{4\pi\epsilon_0 r^2} \mathbf{e}_r \quad \text{V/m}$$

$$\mathbf{E}(\mathbf{r}) = \frac{\mathbf{F}}{q_t} = \frac{q}{4\pi\epsilon_0 |\mathbf{r} - \mathbf{r}'|^2} \cdot \frac{\mathbf{r} - \mathbf{r}'}{|\mathbf{r} - \mathbf{r}'|} = \frac{q(\mathbf{r} - \mathbf{r}')}{4\pi\epsilon_0 |\mathbf{r} - \mathbf{r}'|^3} = \frac{q}{4\pi\epsilon_0 R^2} \mathbf{e}_R \quad \text{V/m}$$

2) 连续分布电荷产生的电场强度



$$d\mathbf{E}(\mathbf{r}) = \frac{1}{4\pi\epsilon_0} \frac{\mathbf{r} - \mathbf{r}'}{|\mathbf{r} - \mathbf{r}'|^3} dq(\mathbf{r}')$$

体电荷分布 $dq = \rho(\mathbf{r}')dV'$

$$\begin{aligned}\mathbf{E}(\mathbf{r}) &= \frac{1}{4\pi\epsilon_0} \int_{V'} \frac{\mathbf{r} - \mathbf{r}'}{|\mathbf{r} - \mathbf{r}'|^3} dq \\ &= \frac{1}{4\pi\epsilon_0} \int_{V'} \frac{\rho(\mathbf{r}')dV'}{R^2} \mathbf{e}_R\end{aligned}$$

面电荷分布: $dq = \sigma(\mathbf{r}')ds'$

线电荷分布: $dq = \tau(\mathbf{r}')dl'$

$$\mathbf{E}(\mathbf{r}) = \frac{1}{4\pi\epsilon_0} \int_{s'} \frac{\sigma(\mathbf{r}')ds'}{R^2} \mathbf{e}_R$$

$$\mathbf{E}(\mathbf{r}) = \frac{1}{4\pi\epsilon_0} \int_{l'} \frac{\tau(\mathbf{r}')dl'}{R^2} \mathbf{e}_R$$

2. 静电场的无旋性 电位

1. 静电场旋度

点
电
荷



$$\left[\begin{array}{l} E(\mathbf{r}) = \frac{q}{4\pi\epsilon_0} \cdot \frac{\mathbf{r} - \mathbf{r}'}{|\mathbf{r} - \mathbf{r}'|^3} \\ \nabla \times E(\mathbf{r}) = \frac{q}{4\pi\epsilon_0} \nabla \times \frac{\mathbf{r} - \mathbf{r}'}{|\mathbf{r} - \mathbf{r}'|^3} \end{array} \right.$$

矢量恒等式 $\nabla \times CF = C\nabla \times F + \nabla C \times F$

$$\nabla \times \frac{\mathbf{r} - \mathbf{r}'}{|\mathbf{r} - \mathbf{r}'|^3} = \frac{1}{|\mathbf{r} - \mathbf{r}'|^3} \nabla \times (\mathbf{r} - \mathbf{r}') + \nabla \frac{1}{|\mathbf{r} - \mathbf{r}'|^3} \times (\mathbf{r} - \mathbf{r}')$$

直接微分得 $\nabla \times (\mathbf{r} - \mathbf{r}') = 0$

$$\nabla \frac{1}{|\mathbf{r} - \mathbf{r}'|^3} \times (\mathbf{r} - \mathbf{r}') = -3 \frac{\mathbf{r} - \mathbf{r}'}{|\mathbf{r} - \mathbf{r}'|^3} \times (\mathbf{r} - \mathbf{r}') = 0$$

故 $\nabla \times E(\mathbf{r}) \equiv 0$

电场强度 E 的旋度等于零

由叠加定理知上述结论适用于点电荷群和连续分布电荷产生的电场。即任一分布形式的静电荷产生的电场的旋度恒等于零，即

$$\nabla \times \mathbf{E}(\mathbf{r}) \equiv 0$$

表明：静电场是一个无旋场。

2. 静电场的环路定律

由斯托克斯定理，得

$$\oint_l \mathbf{E} \cdot d\mathbf{l} = \oint_s (\nabla \times \mathbf{E}) \cdot d\mathbf{s} \equiv 0$$

- 在静电场中,电场强度沿着闭合回路的环量恒等于零。
- 电场力作功与路径无关,静电场是保守场。

$$\nabla \times \mathbf{E} = 0 \quad \Rightarrow \quad \oint_l \mathbf{E} \cdot d\mathbf{l} = 0 \quad \text{二者等价。}$$

无旋场一定是保守场，保守场一定是无旋场。

3. 电位函数

1) 电位的引出

$$\because \nabla \times \mathbf{E} = 0$$

根据矢量恒等式 $\nabla \times \nabla \varphi = 0$

$$\therefore \mathbf{E} = -\nabla \varphi$$

在静电场中可通过求解电位函数(*Potential*), 再利用上式可方便地求得电场强度 E , 式中负号表示电场强度的方向从高电位指向低电位。

2) 已知电荷分布，求电位：

以点电荷为例推导电位：

$$\mathbf{E}(\mathbf{r}) = \frac{q}{4\pi\epsilon_0} \cdot \frac{\mathbf{r} - \mathbf{r}'}{|\mathbf{r} - \mathbf{r}'|^3}$$

$$\therefore \nabla \frac{1}{|\mathbf{r} - \mathbf{r}'|} = -\frac{\mathbf{r} - \mathbf{r}'}{|\mathbf{r} - \mathbf{r}'|^3}$$

$$\therefore \mathbf{E}(\mathbf{r}) = -\nabla \frac{q}{4\pi\epsilon_0 |\mathbf{r} - \mathbf{r}'|} = -\nabla \varphi(\mathbf{r})$$

$$\therefore \varphi(\mathbf{r}) = \frac{q}{4\pi\epsilon_0 |\mathbf{r} - \mathbf{r}'|} + C$$

点电荷

$$\varphi(\mathbf{r}) = \frac{q}{4\pi\epsilon_0|\mathbf{r} - \mathbf{r}'|} + C$$

点电荷群

$$\varphi(\mathbf{r}) = \frac{1}{4\pi\epsilon_0} \sum_{i=1}^N \frac{q_i}{|\mathbf{r} - \mathbf{r}_i'|} + C$$

连续分布电荷

$$\varphi(\mathbf{r}) = \frac{1}{4\pi\epsilon_0} \int_{\Gamma'} \frac{dq}{|\mathbf{r} - \mathbf{r}'|} + C$$

$$dq : \quad \rho dV, \quad \sigma dS, \quad \tau dl$$

3) 电力线与等位线（面）

➤ E 线：曲线上每一点切线方向应与该点电场强度 E 的方向一致，若

$d\mathbf{l}$ 是电力线的长度元， E 矢量将与 $d\mathbf{l}$ 方向一致，

故电力线微分方程 $E \times d\mathbf{l} = 0$

在直角坐标系中：

$$\frac{E_x}{dx} = \frac{E_y}{dy} = \frac{E_z}{dz} \quad \text{微分方程的解即为电力线 } E \text{ 的方程。}$$

➤ 在静电场中电位相等的点的曲面称为等位面，即等位线(面)方程：

$$\varphi(x, y, z) = C$$

当取不同的 C 值时，可得到不同的等位线（面）。

例 2-3 两个大小相等，符号相反的点电荷 $+q$ 和 $-q$ ，其间拉开一个小位移 d ，方向由负电荷指向正电荷，由此构成了一个电偶极子。求电偶极子在真空中产生的 φ 、 E 。

解：在球坐标系中：

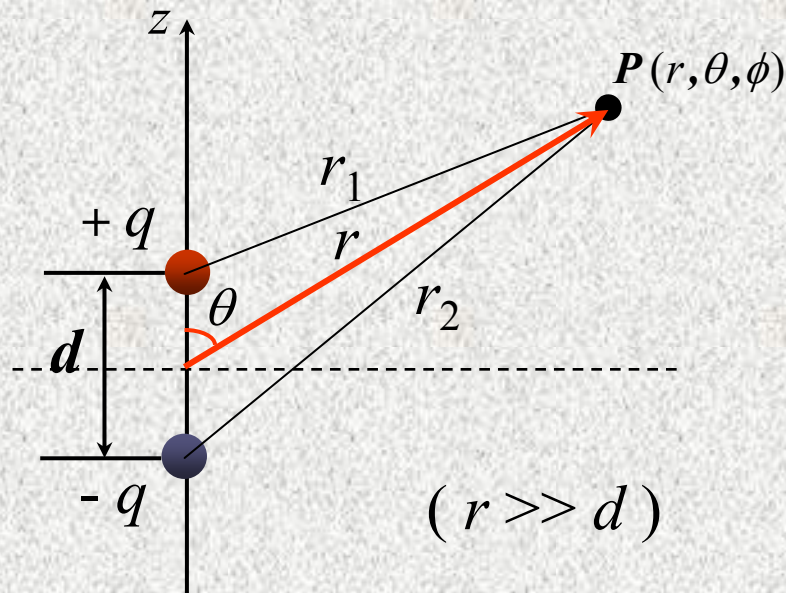
$$\varphi_p = \frac{q}{4\pi\epsilon_0} \left(\frac{1}{r_1} - \frac{1}{r_2} \right) = \frac{q}{4\pi\epsilon_0} \frac{r_2 - r_1}{r_1 r_2}$$

因为 $r \gg d$ ，得

$$r_2 - r_1 \approx \left(r + \frac{d}{2} \cos\theta \right) - \left(r - \frac{d}{2} \cos\theta \right) = d \cos\theta \quad r_1 r_2 \approx r^2$$

代入上式，得

$$\varphi_p = \frac{qd \cos\theta}{4\pi\epsilon_0 r^2} = \frac{\mathbf{p} \cdot \mathbf{e}_r}{4\pi\epsilon_0 r^2}$$



$$\varphi_p = \frac{qd \cos \theta}{4\pi\epsilon_0 r^2} = \frac{\mathbf{p} \cdot \mathbf{e}_r}{4\pi\epsilon_0 r^2}$$

\mathbf{p} 表示电偶极矩，方向由负电荷指向正电荷。

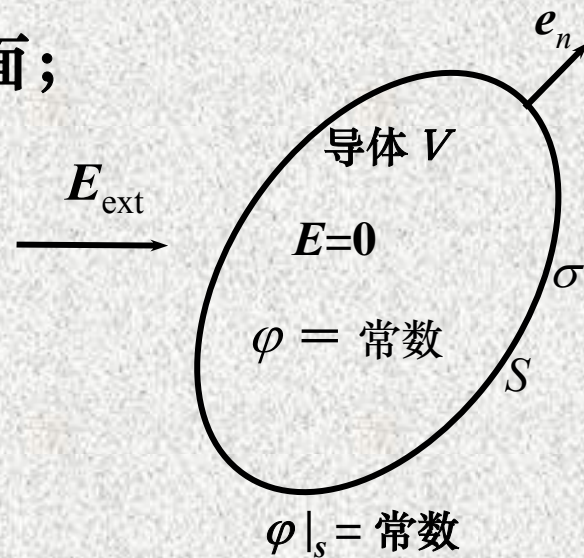
$$\begin{aligned} \mathbf{E} &= -\nabla\varphi = -\left(\mathbf{e}_r \frac{\partial\varphi}{\partial r} + \mathbf{e}_\theta \frac{1}{r} \frac{\partial\varphi}{\partial\theta} + \mathbf{e}_\phi \frac{1}{r\sin\theta} \frac{\partial\varphi}{\partial\phi} \right) \\ &= \frac{p}{4\pi\epsilon_0 r^3} (2\cos\theta\mathbf{e}_r + \sin\theta\mathbf{e}_\theta) \end{aligned}$$

3. 静电场中的导体与电介质

1. 静电场中的导体

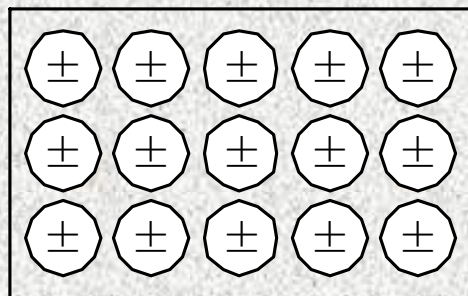
- 导体内电场强度 E 为零，静电平衡；
- 导体是等位体，导体表面为等位面；
- 电场强度垂直于导体表面；
- 电荷分布在导体表面，且

$$E = \frac{\sigma}{\epsilon_0}$$



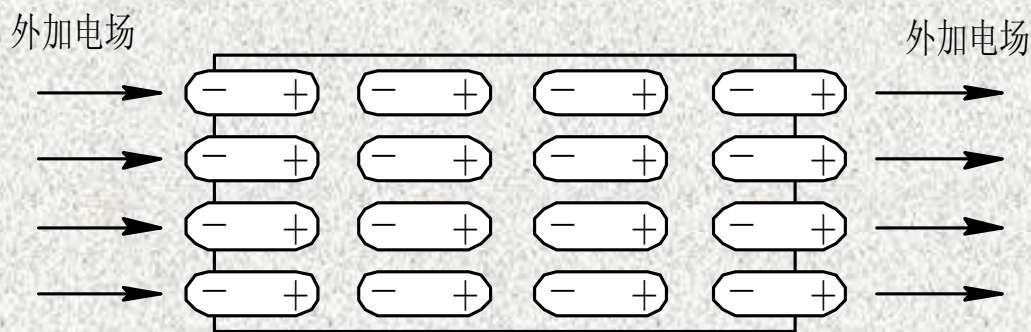
2. 静电场中的电介质

- 电介质在外电场 E 作用下发生极化，形成有向排列的电偶极矩；
- 电介质内部和表面产生极化电荷；
- 极化电荷与自由电荷都是产生电场的源。



(a)

(a) 极化前的介质分子



(b)

(b) 极化后形成电偶极子

用极化强度 P 表示电介质的极化程度，即

$$P = \lim_{\Delta V \rightarrow 0} \frac{\Delta \mathbf{p}_{eq}}{\Delta V} = \frac{d \mathbf{p}_{eq}}{dV} \quad \text{C/m}^2 \quad \text{电偶极矩体密度}$$

式中 $\Delta \mathbf{p}_{eq} = \sum \mathbf{p}_{eq}$ 为体积元 ΔV 内电偶极矩的矢量和， P 的方向从负极化电荷指向正极化电荷。

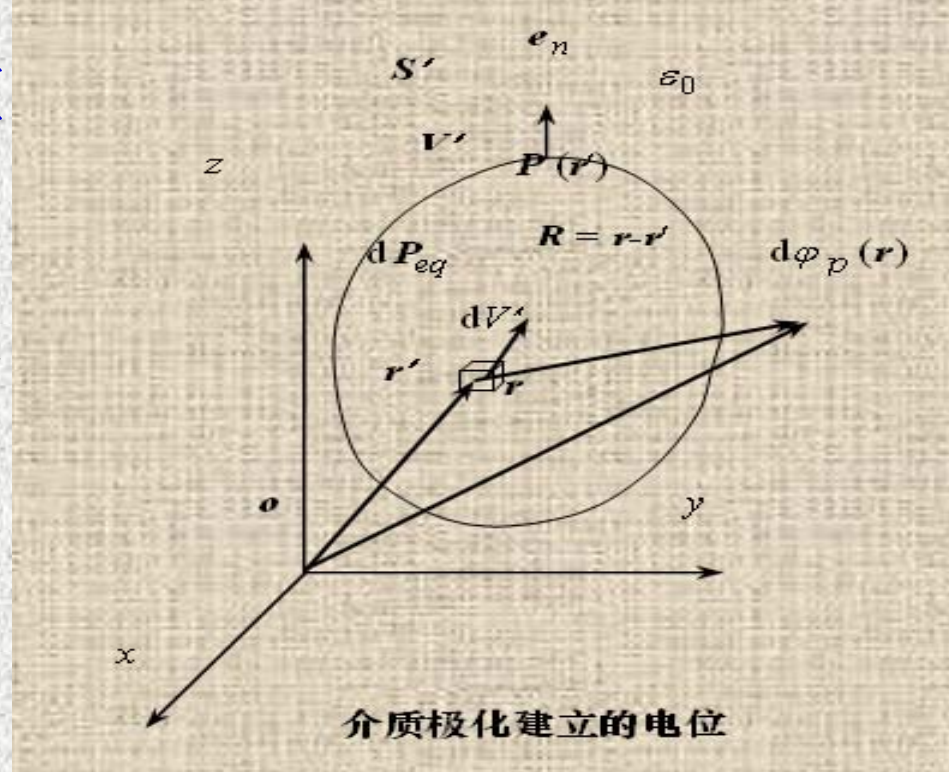
3. 极化介质的附加电场效应

一个电偶极子产生的电位

$$\varphi_p = \frac{\mathbf{p} \cdot \mathbf{e}_r}{4\pi\epsilon_0 r^2}$$

体积元 dV 的等效元电矩为

$$d\mathbf{p}_{eq} = \mathbf{P}(\mathbf{r}')dV'$$



则
$$d\varphi_p(\mathbf{r}) = \frac{d\mathbf{p}_{eq}(\mathbf{r}') \cdot \mathbf{e}_R}{4\pi\epsilon_0 R^2} = \frac{\mathbf{P}(\mathbf{r}') \cdot \mathbf{e}_R}{4\pi\epsilon_0 R^2} dV' = \frac{\mathbf{P}(\mathbf{r}')dV'}{4\pi\epsilon_0} \cdot \nabla' \frac{1}{R}$$

$$\therefore \varphi_p(\mathbf{r}) = \frac{1}{4\pi\epsilon_0} \int_{V'} \mathbf{P}(\mathbf{r}') \cdot \nabla' \frac{1}{R} dV'$$

上式利用了矢量关系
$$\frac{\mathbf{e}_R}{R^2} = \nabla' \frac{1}{R} = -\nabla \frac{1}{R}$$

$$\varphi_p(\mathbf{r}) = \frac{1}{4\pi\epsilon_0} \int_{V'} \mathbf{P}(\mathbf{r}') \cdot \nabla' \frac{1}{R} dV'$$

利用矢量恒等式作变换

$$\mathbf{P}(\mathbf{r}') \cdot \nabla' \frac{1}{R} = \nabla' \cdot \left[\frac{\mathbf{P}(\mathbf{r}')}{R} \right] - \frac{\nabla' \cdot \mathbf{P}(\mathbf{r}')}{R}$$

$$\varphi_p(\mathbf{r}) = \frac{1}{4\pi\epsilon_0} \left\{ \int_{V'} \nabla' \cdot \left[\frac{\mathbf{P}(\mathbf{r}')}{R} \right] dV' - \int_{V'} \frac{\nabla' \cdot \mathbf{P}(\mathbf{r}')}{R} dV' \right\}$$

$$= \frac{1}{4\pi\epsilon_0} \oint_{S'} \frac{\mathbf{P}(\mathbf{r}') \cdot \mathbf{e}_n}{R} ds' + \frac{1}{4\pi\epsilon_0} \int_{V'} \frac{-\nabla' \cdot \mathbf{P}(\mathbf{r}')}{R} dV'$$

定义极化电荷体密度和面密度分别为

$$\rho_p = -\nabla' \cdot \mathbf{P}(\mathbf{r}')$$

$$\sigma_p = \mathbf{P}(\mathbf{r}') \cdot \mathbf{e}_n$$

$$\varphi_p(\mathbf{r}) = \frac{1}{4\pi\epsilon_0} \int_{V'} \frac{\rho_p(\mathbf{r}')}{|\mathbf{r} - \mathbf{r}'|} dV' + \frac{1}{4\pi\epsilon_0} \oint_{S'} \frac{\sigma_p(\mathbf{r}')}{|\mathbf{r} - \mathbf{r}'|} dS'$$

$$\varphi_p(\mathbf{r}) = \frac{1}{4\pi\epsilon_0} \int_{V'} \frac{\rho_p(\mathbf{r}')}{|\mathbf{r} - \mathbf{r}'|} dV' + \frac{1}{4\pi\epsilon_0} \oint_{S'} \frac{\sigma_p(\mathbf{r}')}{|\mathbf{r} - \mathbf{r}'|} dS'$$

这就是电介质极化后，由面极化电荷 σ_p 和体极化电荷 ρ_p 共同作用在真空 ϵ_0 中产生的电位。

$$\therefore \mathbf{E}_p = -\nabla \varphi_p(\mathbf{r})$$

$$= \frac{1}{4\pi\epsilon_0} \int_{V'} \frac{\rho_p(\mathbf{r}')(\mathbf{r} - \mathbf{r}')}{|\mathbf{r} - \mathbf{r}'|^3} dV' + \frac{1}{4\pi\epsilon_0} \oint_{S'} \frac{\sigma_p(\mathbf{r}')(\mathbf{r} - \mathbf{r}')}{|\mathbf{r} - \mathbf{r}'|^3} dS'$$

- 根据电荷守恒原理，这两部分极化电荷的总和

$$\int_{V'} -\nabla \cdot \mathbf{P} dV' + \oint_{S'} \mathbf{P} \cdot \mathbf{e}_n dS' \equiv 0$$

- 有电介质存在的场域中，任一点的电位及电场强度表示为

$$\varphi(\mathbf{r}) = \frac{1}{4\pi\epsilon_0} \left[\oint_{V'} \frac{(\rho_f + \rho_p)}{|\mathbf{r} - \mathbf{r}'|} dV' + \oint_{S'} \frac{(\sigma_f + \sigma_p)}{|\mathbf{r} - \mathbf{r}'|} dS' \right]$$

$$\mathbf{E}(\mathbf{r}) = \frac{1}{4\pi\epsilon_0} \left[\oint_{V'} \frac{(\rho_f + \rho_p)(\mathbf{r} - \mathbf{r}')}{|\mathbf{r} - \mathbf{r}'|^3} dV' + \oint_{S'} \frac{(\sigma_f + \sigma_p)(\mathbf{r} - \mathbf{r}')}{|\mathbf{r} - \mathbf{r}'|^3} dS' \right]$$

空间任一点的电场为合成场，即

$$\mathbf{E} = \mathbf{E}_f + \mathbf{E}_p$$

静电场恒为无旋场

$$\nabla \times \mathbf{E} = 0$$

实验结果表明，在各向同性、线性、均匀介质中极化强度 P 与该点的电场强度 E 成正比，即

$$P = \chi_e \varepsilon_0 E$$

χ 称为介质的电极化率，无量纲量。 E 为合成电场

- 各向同性：媒质的特性不随电场的方向而改变,反之称为各向异性；
- 线性：媒质的参数不随电场的值而变化；
- 均匀：媒质参数不随空间坐标 (x, y, z) 而变化。

4. 高斯定律

1. 真空中的高斯定律

1). 高斯定律的积分形式:
$$\oint_S \mathbf{E} \cdot d\mathbf{S} = \frac{q}{\epsilon_0}$$

证明: 设电场由点电荷产生, 即

$$\mathbf{E} = \frac{q}{4\pi\epsilon_0 R^2} \mathbf{e}_R$$

则
$$\oint_S \mathbf{E} \cdot d\mathbf{S} = \oint_S \frac{q}{4\pi\epsilon_0 R^2} \mathbf{e}_R \cdot d\mathbf{S}$$

$$\frac{\mathbf{e}_R \cdot d\mathbf{S}}{R^2} = \frac{\cos\theta dS}{R^2}$$

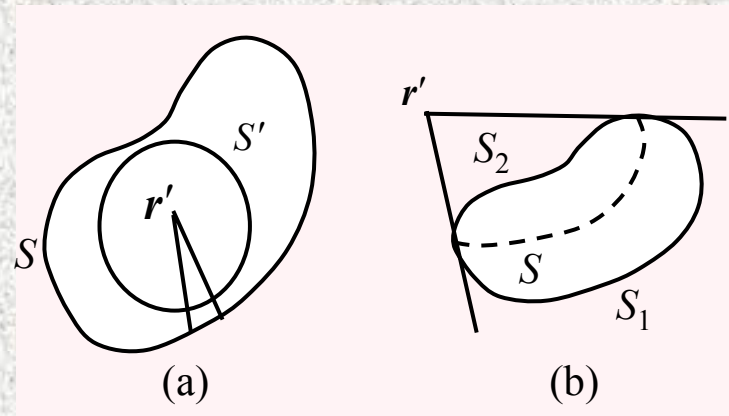
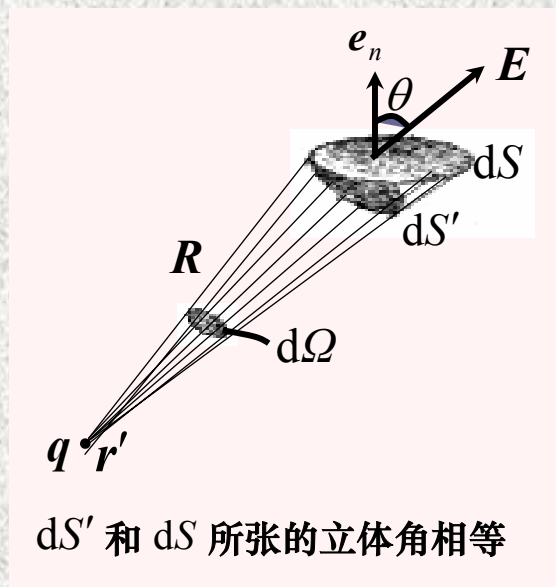
$$\frac{d\Omega}{4\pi} = \frac{dS'}{4\pi R^2}$$

$$d\Omega = \frac{dS'}{R^2} = \frac{\cos\theta dS}{R^2} = \frac{\mathbf{e}_R \cdot d\mathbf{S}}{R^2}$$

立体角定义式

$$\therefore \oint_S \mathbf{E} \cdot d\mathbf{S} = \frac{q}{4\pi\epsilon_0} \oint_S d\Omega$$

$$\oint_S d\Omega = \begin{cases} 4\pi & r' \in S \\ 0 & r' \notin S \end{cases}$$



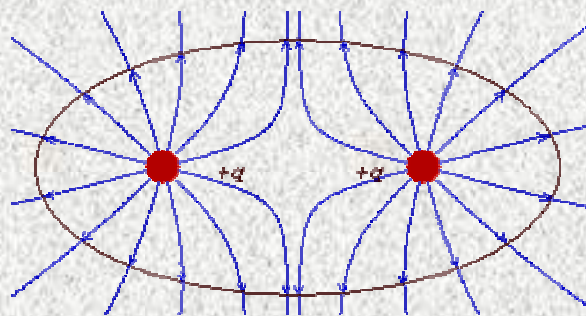
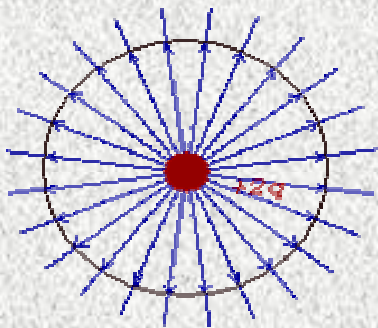
闭合面对空间一点 r' 所张的立体角

闭合面 S 内包围有 n 个点电荷

$$\oint_S \mathbf{E} \cdot d\mathbf{S} = \frac{1}{\epsilon_0} \sum_{i=1}^n q_i$$

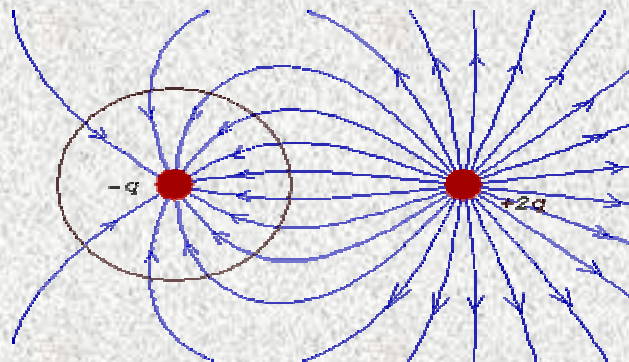
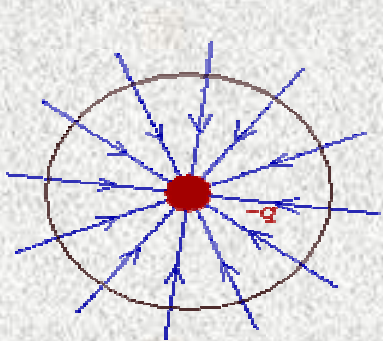
闭合面 S 内电荷按体密度分布

$$\oint_S \mathbf{E} \cdot d\mathbf{S} = \frac{1}{\epsilon_0} \int_{V'} \rho dV'$$



E 的通量仅与闭合面 S 所包围的净电荷有关。

闭合曲面的电通量



S 面上的 E 是由系统中全部电荷产生的。

闭合面外的电荷对场的影响

2.静电场的散度——高斯定律的微分形式

体电荷产生的电场

$$\oint_S \mathbf{E} \cdot d\mathbf{s} = \frac{1}{\epsilon_0} \int_{V'} \rho dV'$$

对上式等号左端应用散度定理

$$\int_V \nabla \cdot \mathbf{E} dV = \frac{1}{\epsilon_0} \int_V \rho dV$$

$$\Rightarrow \nabla \cdot \mathbf{E} = \frac{\rho}{\epsilon_0}$$

真空中高斯定律的微分形式

2. 真空中的高斯定律

1. 高斯定律的积分形式:

$$\oint_S \mathbf{E} \cdot d\mathbf{S} = \frac{q}{\epsilon_0}$$

2. 静电场的散度——高斯定律的微分形式

$$\nabla \cdot \mathbf{E} = \frac{\rho}{\epsilon_0}$$

2.4.2. 高斯定律的一般形式

1、高斯定律的微分形式

$$\text{(真空中)} \quad \nabla \cdot \mathbf{E} = \frac{\rho_f}{\epsilon_0} \quad \longrightarrow$$

$$\text{(电介质中)} \quad \nabla \cdot \mathbf{E} = \frac{\rho_f + \rho_p}{\epsilon_0}$$

代入 $\rho_p = -\nabla \cdot \mathbf{P}$, 得

$$\nabla \cdot \mathbf{E} = \frac{1}{\epsilon_0} (\rho_f - \nabla \cdot \mathbf{P}) \quad \longrightarrow \quad \nabla \cdot (\epsilon_0 \mathbf{E} + \mathbf{P}) = \rho_f$$

定义电位移矢量 (Displacement)

$$\mathbf{D} = \epsilon_0 \mathbf{E} + \mathbf{P} \quad (\text{C/m}^2)$$

则有 $\nabla \cdot \mathbf{D} = \rho$ 电介质中高斯定律的微分形式

高斯定律的一般形式

$$\nabla \cdot \mathbf{D} = \rho$$

- \mathbf{D} 的散度表明 空间某点电场只与该点的电荷密度有关，而与其他点的电荷分布无关。
- \mathbf{D} 线从正的自由电荷发出而终止于负的自由电荷。
- 在各向同性介质中

$$\mathbf{D} = \varepsilon_0 \mathbf{E} + \mathbf{P} = \varepsilon_0 \mathbf{E} + \chi_e \varepsilon_0 \mathbf{E} = \varepsilon_0 (1 + \chi_e) \mathbf{E} = \varepsilon_r \varepsilon_0 \mathbf{E} = \varepsilon \mathbf{E}$$

其中 $\varepsilon_r = 1 + \chi_e$ ——相对介电常数；

ε ——介电常数，单位 (F/m)

图示平行板电容器中放入一块介质后，其 D 线、 E 线和 P 线的分布。

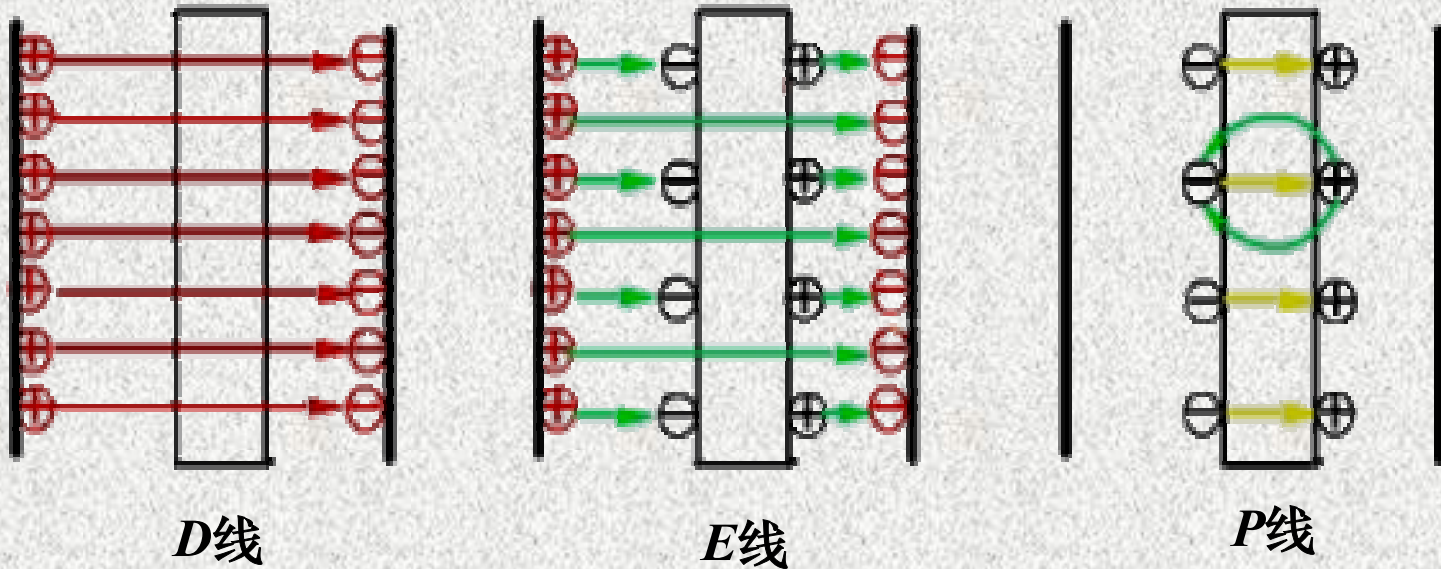


图2.2.17 D 、 E 与 P 三者之间的关系

- D 线由正的自由电荷发出，终止于负的自由电荷；
- E 线的起点与终点既可以在自由电荷上，又可以在极化电荷上；
- P 线由负的极化电荷发出，终止于正的极化电荷。

2、高斯定律的积分形式

$$\nabla \cdot \mathbf{D} = \rho$$


$$\int_V \nabla \cdot \mathbf{D} dV = \int_V \rho dV$$

散度定理


$$\oint_S \mathbf{D} \cdot d\mathbf{S} = \sum q$$

\mathbf{D} 的通量与介质无关，但不能认为 \mathbf{D} 的分布与介质无关。

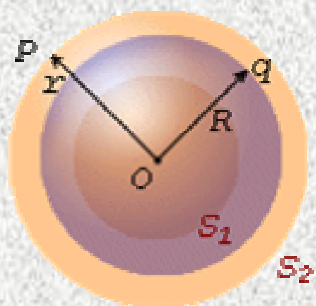
3. 高斯定律的应用

- 高斯定律适用于任何情况，但只有具有一定对称性的场才能得到解析解。

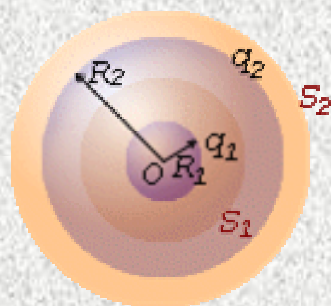
计算技巧：

- a) 分析给定场分布的对称性，判断能否用高斯定律求解。
- b) 选择适当的闭合面作为高斯面，使 $\oint D$ 容易积分。

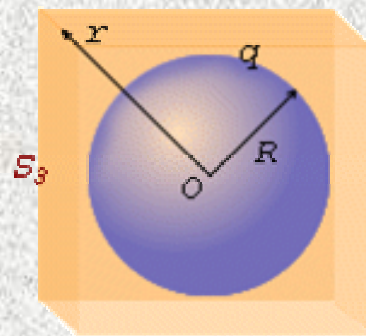
- 球对称分布：包括均匀带电的球面，球体和多层同心球壳等。



(a)



(b)



(c)

图1.2.20. 球对称场的高斯面

试问： 能否选取正方形的高斯面求解球对称场

- 轴对称分布：包括无限长均匀带电的直线，圆柱面，圆柱壳等。

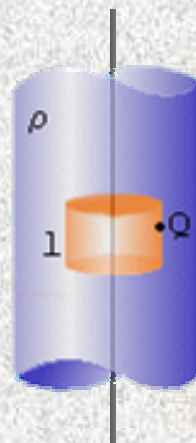
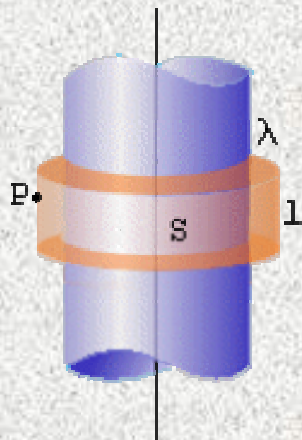


图1.2.21. 轴对称场的高斯面

- 无限大平面电荷：包括无限大的均匀带电平面，平板等。

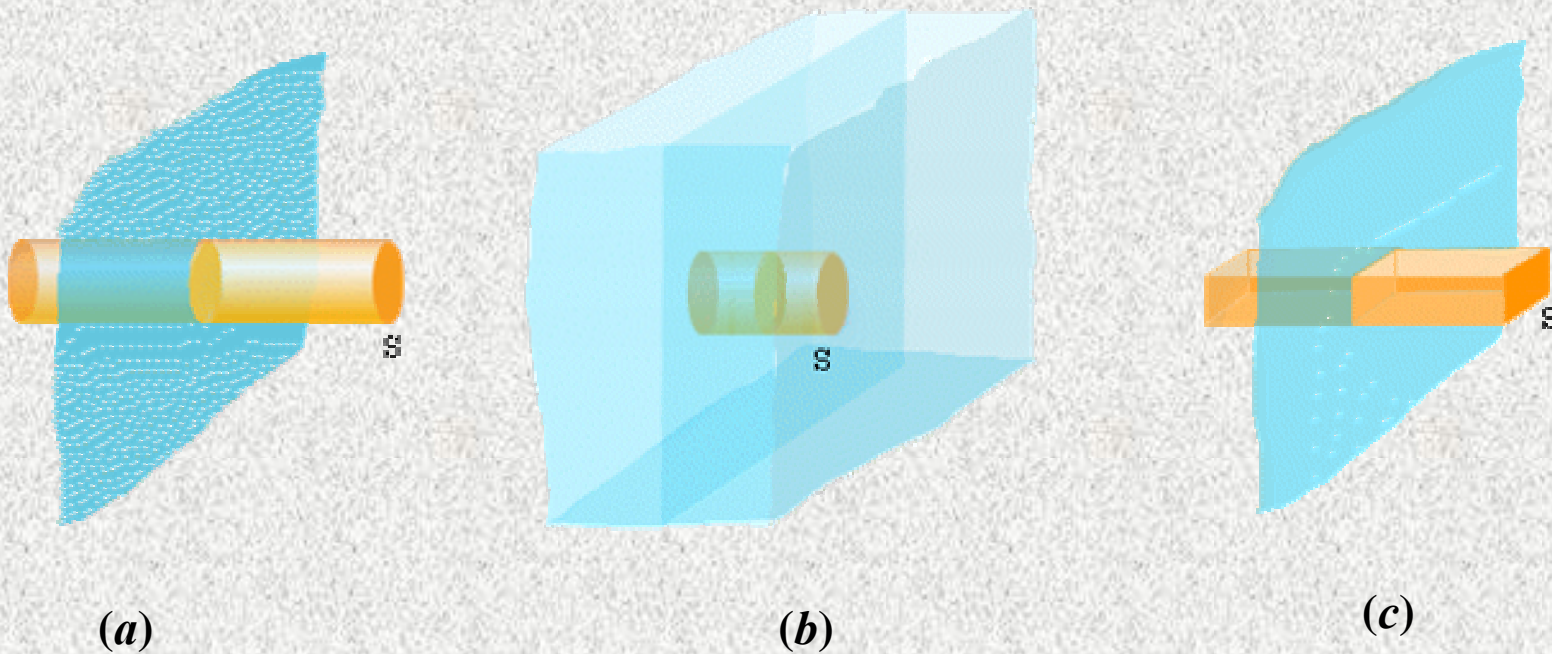


图3. 平行平面场的高斯面

5. 静电场的基本方程 分界面上的衔接条件

1 静电场的基本方程

静电场是一个无旋、有源场，静止电荷就是静电场的源。

这两个重要特性用简洁的数学形式为：

$$\left\{ \begin{array}{l} \nabla \times \mathbf{E} = 0 \quad (\mathbf{E} = -\nabla \varphi) \\ \nabla \cdot \mathbf{D} = \rho \end{array} \right. \quad \left\{ \begin{array}{l} \oint_l \mathbf{E} \cdot d\mathbf{l} = 0 \\ \oint_S \mathbf{D} \cdot d\mathbf{S} = q \end{array} \right.$$

本构关系 $\mathbf{D} = \varepsilon_0 \mathbf{E} + \mathbf{P}$ 或 $\mathbf{D} = \varepsilon \mathbf{E}$

例2.5.1 已知 $\mathbf{A} = 3xe_x + 4ye_y$ 试判断它能否表示一个静电场?

解: 根据静电场的旋度恒等于零的性质,

$$\nabla \times \mathbf{A} = \begin{vmatrix} \mathbf{e}_x & \mathbf{e}_y & \mathbf{e}_z \\ \frac{\partial}{\partial x} & \frac{\partial}{\partial y} & \frac{\partial}{\partial z} \\ A_x & A_y & A_z \end{vmatrix} = \left(\frac{\partial A_z}{\partial y} - \frac{\partial A_y}{\partial z}\right)\mathbf{e}_x + \left(\frac{\partial A_x}{\partial z} - \frac{\partial A_z}{\partial x}\right)\mathbf{e}_y + \left(\frac{\partial A_y}{\partial x} - \frac{\partial A_x}{\partial y}\right)\mathbf{e}_z = 0$$

对应静电场的基本方程 $\nabla \times \mathbf{E} = 0$ 矢量 \mathbf{A} 可以表示一个静电场。

2. 介质分界面上的衔接条件

1、电位移矢量 D 的衔接条件

以分界面上点 P 作为观察点，作一小扁圆柱高斯面 ($\Delta L \rightarrow 0$)

根据

$$\oint \mathbf{D} \cdot d\mathbf{S} = q$$

则有 $-D_{1n}\Delta S + D_{2n}\Delta S = \sigma\Delta S$

$$D_{2n} - D_{1n} = \sigma$$

$$\mathbf{e}_n \cdot (\mathbf{D}_2 - \mathbf{D}_1) = \sigma$$

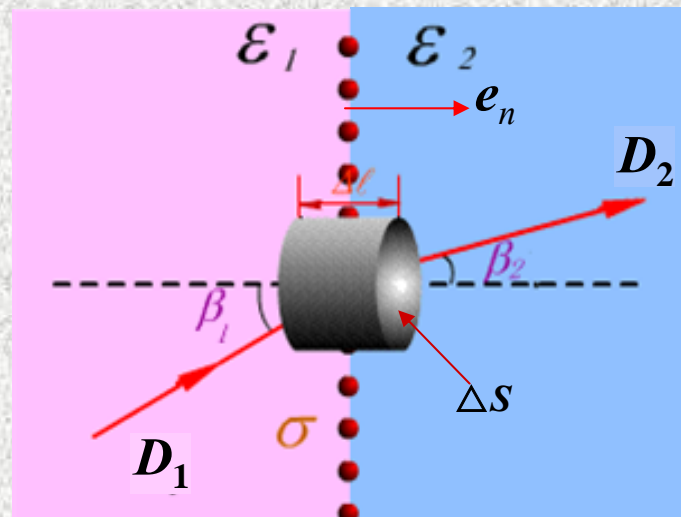


图2.5.1 在电介质分界面上应用高斯定律

分界面两侧的 D 的法向分量不连续。当 $\sigma = 0$ 时， D 的法向分量连续。

2、电场强度 E 的衔接条件

以点 P 作为观察点，作一小矩形

回路 (Δl_2) $\rightarrow 0$

根据 $\oint_l \mathbf{E} \cdot d\mathbf{l} = 0$ 则有

$$E_{1t} \Delta l_1 - E_{2t} \Delta l_1 = 0$$

$$E_{2t} = E_{1t}$$

$$\mathbf{e}_n \times (\mathbf{E}_2 - \mathbf{E}_1) = 0$$

分界面两侧 E 的切向分量连续。

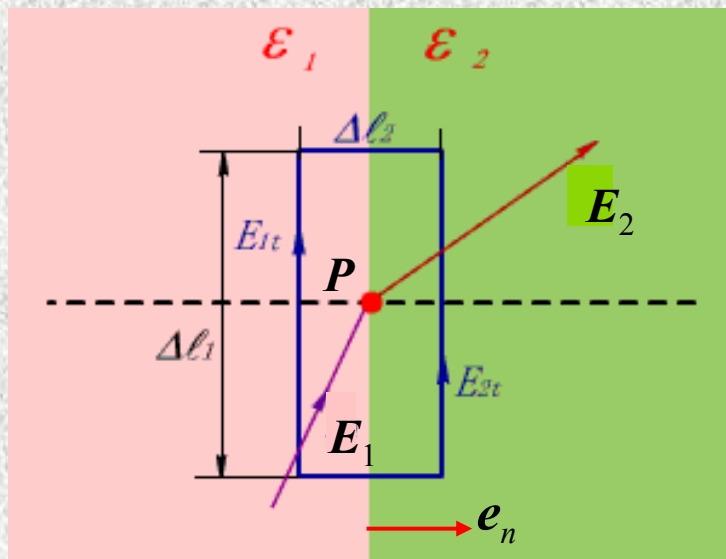


图2.5.2 在电介质分界面上应用环路定律

当分界面为导体与电介质的交
界面时，分界面上的衔接条件
为：

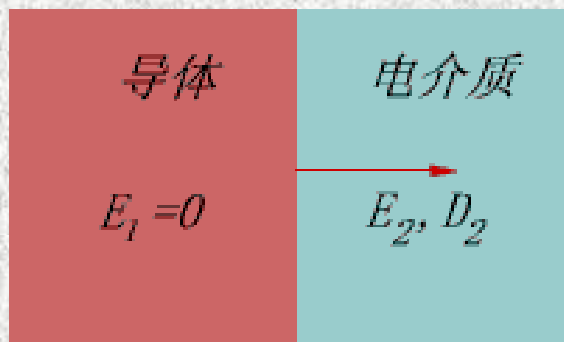


图 2.5.3 导体与电介质分界面

$$\begin{cases} D_{2n} - D_{1n} = \sigma \\ E_{1t} = E_{2t} \end{cases} \quad \longrightarrow \quad \begin{cases} D_{2n} = \sigma \\ E_{2t} = 0 \end{cases}$$

表明：（1）导体表面是一等位面，电力线与导体表面垂直，电场仅有法向分量；（2）导体表面上任一点的 D 就等于该点的自由电荷密度 σ 。

折射定律:

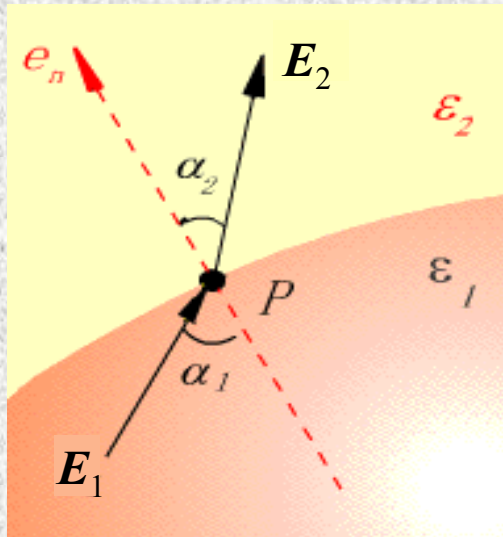


图 2.5.4 分界面上E线的折射

$$D_{1n} = D_{2n} \rightarrow \varepsilon_1 E_1 \cos \alpha_1 = \varepsilon_2 E_2 \cos \alpha_2$$

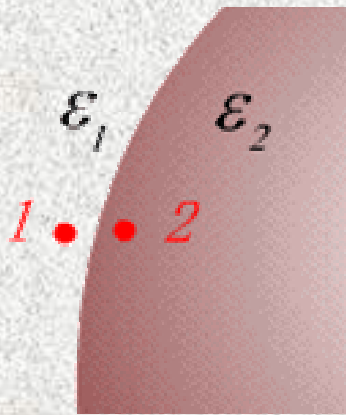
$$E_{1t} = E_{2t} \rightarrow E_1 \sin \alpha_1 = E_2 \sin \alpha_2$$

$$\frac{\tan \alpha_1}{\tan \alpha_2} = \frac{\varepsilon_1}{\varepsilon_2}$$

折射定律

对于各向同性线性介质，在交界面上不存在 σ 时， E 、 D 满足折射定律。

3、用电位函数 φ 表示分界面上的衔接条件



设点1与点2分别位于分界面的两侧，其间距为 d ， $d \rightarrow 0$ 则

$$\varphi_1 - \varphi_2$$

$$= \lim_{1 \rightarrow 2} \int_1^2 \mathbf{E} \cdot d\mathbf{l} = \lim_{d \rightarrow 0} \left(E_{1n} \frac{d}{2} + E_{2n} \frac{d}{2} \right) = 0$$

图2.5.5 电位的衔接条件

因此 $\varphi_1 = \varphi_2$

表明：在介质分界面上，电位是连续的。

$$\therefore D_{1n} = \epsilon_1 E_{1n} = -\epsilon_1 \frac{\partial \varphi_1}{\partial n}, \quad D_{2n} = \epsilon_2 E_{2n} = -\epsilon_2 \frac{\partial \varphi_2}{\partial n}$$

所以 $\epsilon_1 \frac{\partial \varphi_1}{\partial n} - \epsilon_2 \frac{\partial \varphi_2}{\partial n} = \sigma \quad \longleftrightarrow \quad D_{2n} - D_{1n} = \sigma$

表明：一般情况下 ($\sigma \neq 0$)，电位的导数是不连续的。

6. 电位微分方程与边值问题

1 泊松方程与拉普拉斯方程

推导微分方程的基本出发点是静电场的基本方程：

$$\begin{array}{l} \nabla \times \mathbf{E} = 0 \longrightarrow \mathbf{E} = -\nabla \varphi \\ \nabla \cdot \mathbf{D} = \rho \longrightarrow \nabla \cdot \varepsilon \mathbf{E} = \varepsilon \nabla \cdot \mathbf{E} + \mathbf{E} \cdot \nabla \varepsilon = -\varepsilon \nabla \cdot \nabla \varphi = \rho \\ \mathbf{D} = \varepsilon \mathbf{E} \longrightarrow \varepsilon = \text{常数} \end{array}$$

$$\nabla^2 \varphi = -\frac{\rho}{\varepsilon} \quad \text{泊松方程}$$

当 $\rho = 0$ 时

$$\nabla^2 \varphi = 0 \quad \text{拉普拉斯方程}$$

$$\nabla^2 \text{ —— 拉普拉斯算子} \quad \nabla^2 = \frac{\partial^2}{\partial x^2} + \frac{\partial^2}{\partial y^2} + \frac{\partial^2}{\partial z^2}$$

注意：泊松方程与拉普拉斯方程只适用于各向同性、线性的均匀媒质。

2 静电场的边值问题

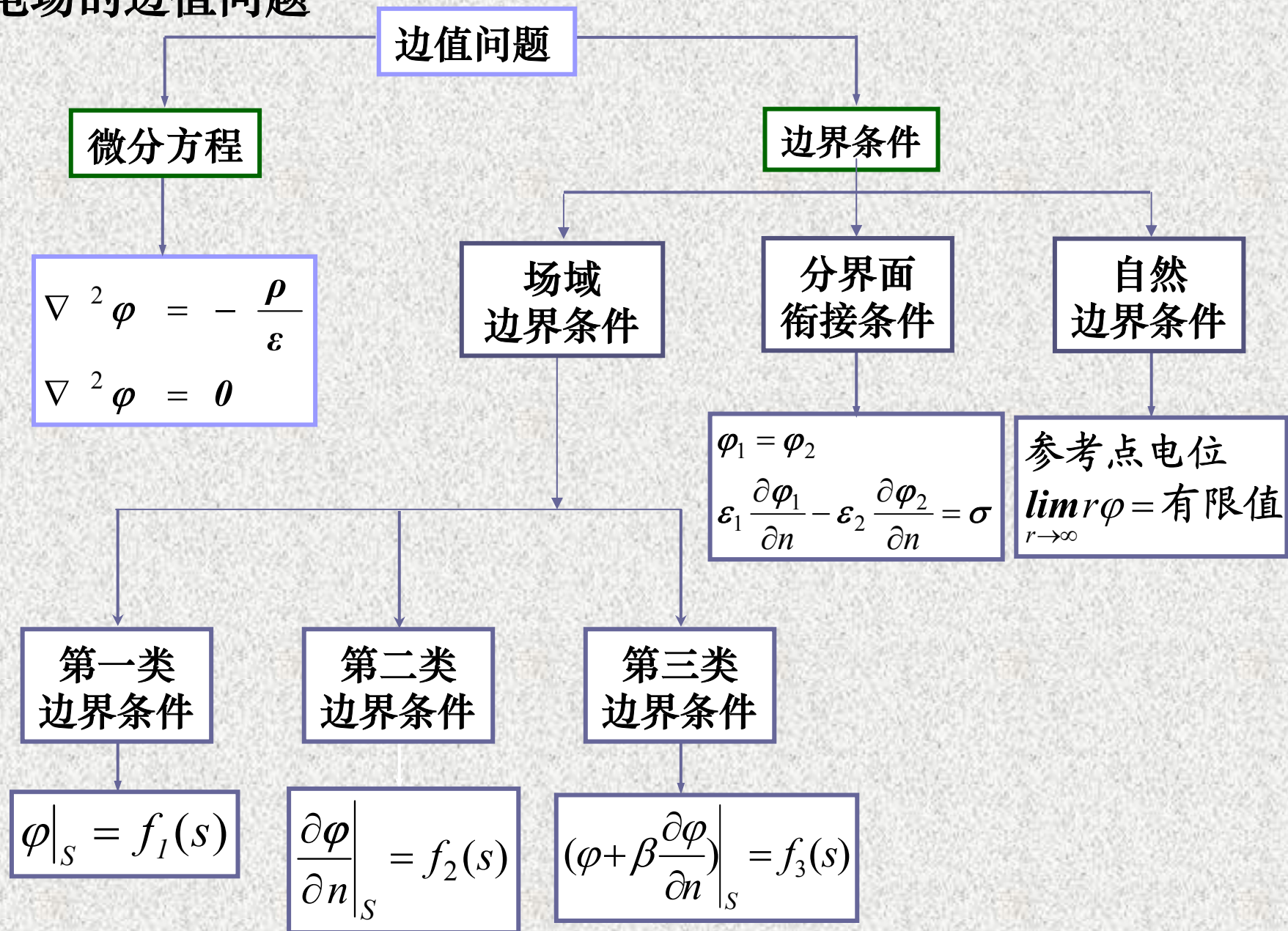


图2.6.2 边值问题框图

例2.6.1 图示长直同轴电缆横截面。已知缆芯截面是一边长为 $2b$ 的正方形，铅皮半径为 a ，内外导体之间电介质的介电常数为 ε ，并且在两导体之间接有电源 U_0 ，试写出该电缆中静电场的边值问题。

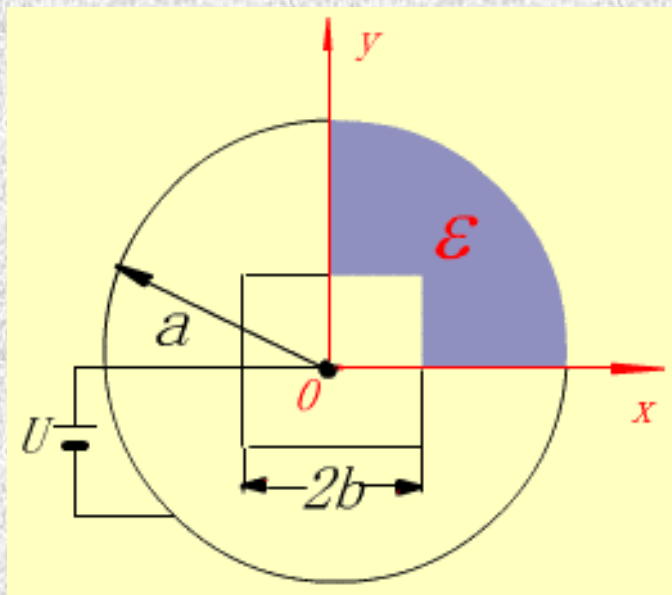


图 2.6.4 缆心为正方形的同轴电缆横截面

解：根据场分布对称性，确定场域。

场的边值问题

$$\nabla^2 \varphi = \frac{\partial^2 \varphi}{\partial x^2} + \frac{\partial^2 \varphi}{\partial y^2} = 0 \quad (\text{阴影区域})$$

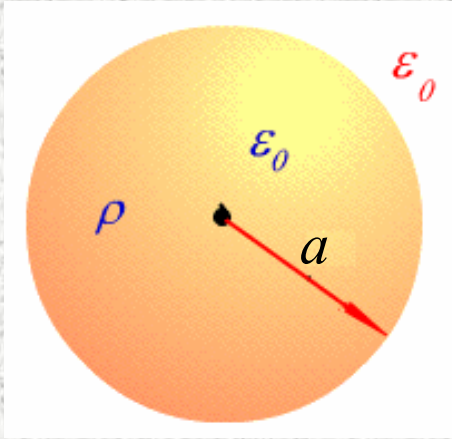
$$\varphi \Big|_{(x=b, 0 \leq y \leq b \text{ 及 } y=b, 0 \leq x \leq b)} = U_0$$

$$\varphi \Big|_{x^2+y^2=a^2, x \geq 0, y \geq 0} = 0$$

$$\frac{\partial \varphi}{\partial x} \Big|_{(x=0, b \leq y \leq a)} = 0$$

$$\frac{\partial \varphi}{\partial y} \Big|_{(y=0, b \leq x \leq a)} = 0$$

例2.6.2 设有电荷均匀分布在半径为 a 的介质球型区域中，电荷体密度为 ρ ，试用解微分方程的方法求球体内、外的电位及电场。



解: 采用球坐标系, 分区域建立方程

$$\nabla^2 \varphi_1 = \frac{1}{r^2} \frac{d}{dr} \left(r^2 \frac{d\varphi_1}{dr} \right) = -\frac{\rho}{\epsilon_0} \quad (0 \leq r \leq a)$$

$$\nabla^2 \varphi_2 = \frac{1}{r^2} \frac{d}{dr} \left(r^2 \frac{d\varphi_2}{dr} \right) = 0 \quad (a \leq r \leq \infty)$$

图 2.6.5 体电荷分布的球形域电场

积分得通解

$$\varphi_1(r) = -\frac{\rho r^2}{6\epsilon_0} + C_1 \frac{1}{r} + C_2 \quad \varphi_2(r) = \frac{C_3}{r} + C_4$$

边界条件

$$\varphi_1|_{r=a} = \varphi_2|_{r=a} \quad \varphi_1|_{r \rightarrow 0} \Rightarrow \text{有限值}$$

$$\epsilon_0 \frac{\partial \varphi_1}{\partial r} \Big|_{r=a} = \epsilon_0 \frac{\partial \varphi_2}{\partial r} \Big|_{r=a} \quad \varphi_2|_{r \rightarrow \infty} = 0 \quad \text{参考点电位}$$

解得

$$C_1 = 0 \quad C_4 = 0$$

$$C_3 = \frac{\rho a^2}{2\varepsilon_0}, \quad C_2 = \frac{\rho a^3}{3\varepsilon_0}$$

电位:

$$\varphi_1(r) = \frac{\rho}{6\varepsilon_0}(3a^2 - r^2) \quad 0 \leq r \leq a$$

$$\varphi_2(r) = \frac{\rho a^3}{3\varepsilon_0 r} \quad a \leq r \leq \infty$$

电场强度 (球坐标梯度公式) :

$$E_1(r) = -\nabla \varphi_1 = -\frac{\partial \varphi_1}{\partial r} \mathbf{e}_r = \frac{\rho r}{3\varepsilon_0} \mathbf{e}_r \quad 0 \leq r \leq a$$

$$E_2(r) = -\nabla \varphi_2 = -\frac{\partial \varphi_2}{\partial r} \mathbf{e}_r = \frac{\rho a^2}{3\varepsilon_0 r^2} \mathbf{e}_r \quad a \leq r \leq \infty$$

对于一维场 (场量仅仅是一个坐标变量的函数), 只要对二阶常系数微分方程积分两次, 得到通解; 然后利用边界条件求得积分常数, 得到电位的解; 再由 E 得到电场强度 E 的分布。

2 唯一性定理

1、唯一性定理

在静电场中满足给定边界条件的电位微分方程（泊松方程或拉普拉斯方程）的解是唯一的，称之为静电场的唯一性定理 (Uniqueness theorem)。

证明：（反证法）

2. 唯一性定理的重要意义

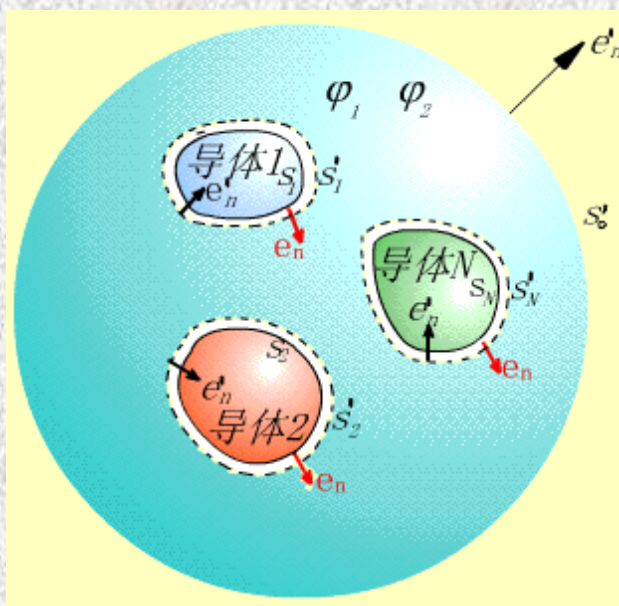
- 可判断静电场问题的解的正确性：
- 唯一性定理为静电场问题的多种解法(试探解、数值解、解析解等) 提供了思路及理论根据。

证明 (反证法):

设场中任一点有两个电 位函数 φ_1 与 φ_2 均满足泊松方程 , 则其差值 $u = \varphi_1 - \varphi_2$ 必满足拉普拉斯方程 , 即

$$\nabla^2 u = \nabla^2 \varphi_1 - \nabla^2 \varphi_2 = -\frac{\rho}{\varepsilon} + \frac{\rho}{\varepsilon} = 0$$

利用矢量恒等式 $\nabla \cdot (u \nabla u) = u \nabla^2 u + (\nabla u)^2 = (\nabla u)^2$



对场域求体积分 , 并利用高斯散度定理

$$\int_V \nabla \cdot (u \nabla u) dV = \oint_S u \nabla u \cdot d\mathbf{S} = \int_V (\nabla u)^2 dV$$

S 为体积 V 的边界面 , 即 $S = S_0 + S'$, $S' = S_1 + S_2 + \dots + S_n$, 由于在无穷远 S_0 处电位为零 , 因此有

$$\oint_S u \nabla u \cdot d\mathbf{S} = \oint_{S'} u \nabla u \cdot d\mathbf{S} = \int_V (\nabla u)^2 dV$$

图2.6.6 证明唯一性定理用图

$$\oint_S u \nabla u \cdot dS = \int_{S'} u \frac{\partial u}{\partial n} dS' = \int_V (\nabla u)^2 dV \quad (1)$$

若导体边界为第一类边界条件,即 $u = \varphi_1 - \varphi_2 = 0$,则式(1)右边也为零,即

$$\nabla u = \nabla(\varphi_1 - \varphi_2) = 0$$

积分后, $\varphi_1 - \varphi_2 = C$,该式既满足场域,又满足边界,故 $C = 0, \varphi_1 = \varphi_2$,得证。

若导体边界为第二类边界条件,即已知电荷面密度

$$\sigma = \varepsilon \frac{\partial \varphi_1}{\partial n} - \varepsilon \frac{\partial \varphi_2}{\partial n}, \quad \text{即} \quad \varepsilon \frac{\partial(\varphi_1 - \varphi_2)}{\partial n} = \varepsilon \frac{\partial u}{\partial n} = 0$$

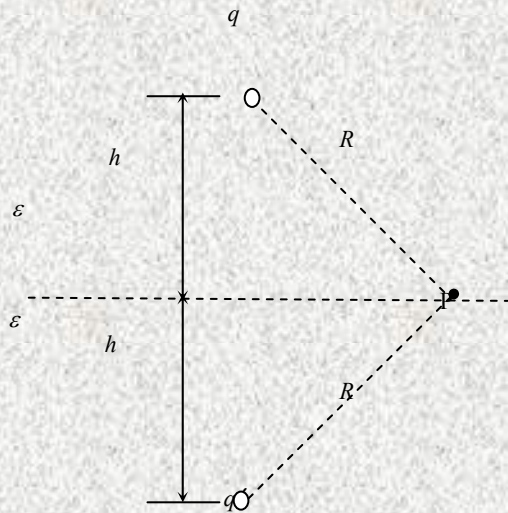
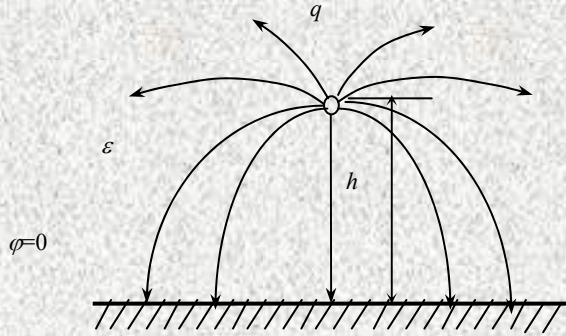
则式(1)右边也为零,同上分析,必有 $\varphi_1 = \varphi_2$,证毕。

由此,在场域 V 中各点, $u \equiv 0$,即 $\varphi_1 = \varphi_2$,也就是说有两个不同解都满足微分方程和边界条件的假设是不成立的,故唯一性定理得证。

返回

7. 静电场的间接求解方法

1. 镜像法



1. 平面导体的镜像

边值问题:

$$\begin{cases} \nabla^2 \varphi = 0 & \text{(除 } q \text{ 所在点外的区域)} \\ \varphi = 0 & \text{(导板及无穷远处)} \\ \oint_S \mathbf{D} \cdot d\mathbf{s} = q & \text{(} S \text{ 为包围 } q \text{ 的闭合面)} \end{cases}$$

上半场域边值问题:

$$\begin{cases} \nabla^2 \varphi = 0 & \text{(除 } q \text{ 所在点外的区域)} \\ \varphi = \frac{q}{4\pi\epsilon_0 r} - \frac{q}{4\pi\epsilon_0 r} = 0 & \text{(导板及无穷远处)} \\ \oint_S \mathbf{D} \cdot d\mathbf{s} = q & \text{(} S \text{ 为包围 } q \text{ 的闭合面)} \end{cases}$$

镜像法: 用虚设的电荷分布等效替代媒质分界面上复杂电荷分布, 虚设电荷的个数、大小与位置使场的解答满足唯一性定理。

例1.7.1 求空气中一个点电荷 在地面引起的感应电荷分布情况。

解: 设点电荷 离地面高度为 h , 则

$$E_p = E_+ + E_- \quad (\text{方向指向地面})$$

$$E_p = 2 \frac{q}{4\pi\epsilon_0 r^2} \cos\theta$$

$$= \frac{qh}{2\pi\epsilon_0 (h^2 + x^2)^{3/2}}$$

$$\sigma_p = -\epsilon_0 E_p = -\frac{qh}{2\pi(h^2 + x^2)^{3/2}}$$

整个地面上感应电荷的总量为

$$\int_S \sigma_p dS = \int_0^\infty \frac{-qh}{2\pi(h^2 + x^2)^{3/2}} \cdot 2\pi x dx$$

$$= qh \left[\frac{1}{(h^2 + x^2)^{1/2}} \right]_0^\infty = -q$$

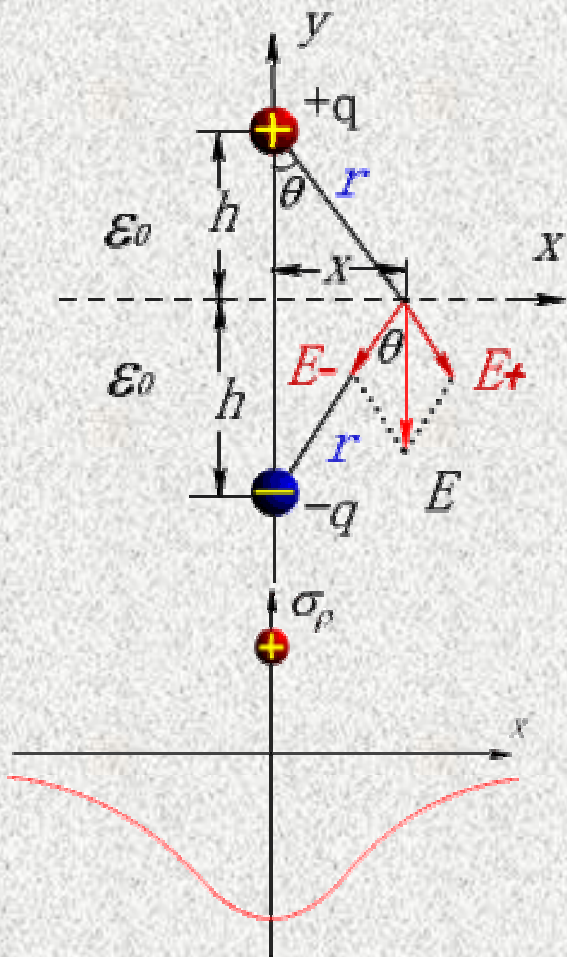
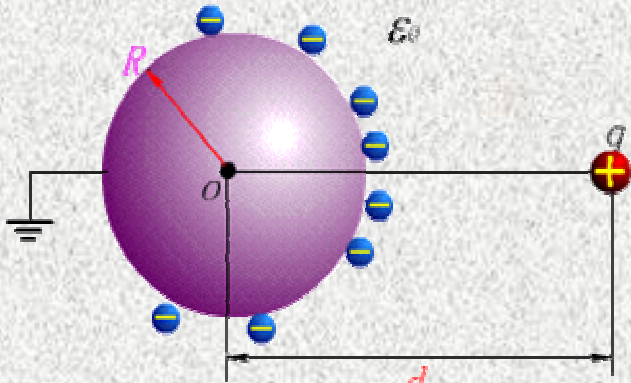


图1.7.2 点电荷 在地面引起的感应电荷的分布

2. 导体球面镜像

设在点电荷附近有一接地导体球，求导体球外空间的电位及电场分布。



1) 边值问题:

$$\nabla^2 \varphi = 0 \quad (\text{除 } q \text{ 点外的导体球外空间})$$

$$\varphi \Big|_{r \rightarrow \infty} = 0$$

$$\varphi \Big|_{\text{导体球面}} = 0$$

2) 设镜像电荷 $-q'$ 位于球内, 球面上任一点电位为

$$\varphi_p = \frac{q}{4\pi\epsilon_0 r_1} - \frac{q'}{4\pi\epsilon_0 r_2} = 0$$

$$r_1 = d^2 + R^2 - 2Rd \cos\theta$$

$$r_2 = b^2 + R^2 - 2Rb \cos\theta$$

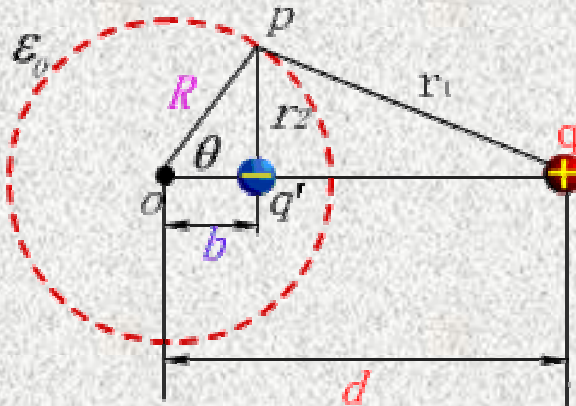


图1.7.3 点电荷对接地导体球面的镜像

$$[q^2(b^2 + R^2) - q'^2(d^2 + R^2)] + 2R(q'^2 d - q^2 b) \cos\theta = 0$$

$$q^2(b^2 + R^2) - q'^2(d^2 + R^2) = 0$$

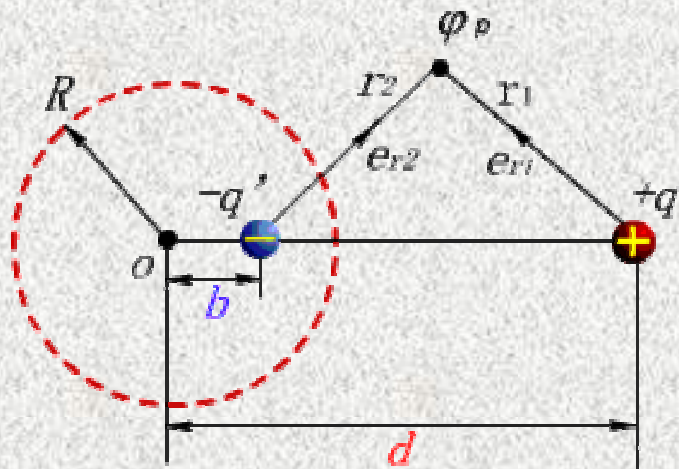
$$q'^2 d - q^2 b = 0$$



$$b = \frac{R^2}{d}$$

$$q' = \sqrt{\frac{b}{d}} q = \frac{R}{d} q$$

由叠加原理，接地导体球外任一点P的电位与电场分别为



$$\varphi_p = \frac{q}{4\pi\epsilon_0 r_1} - \frac{q'}{4\pi\epsilon_0 r_2}$$

$$= \frac{q}{4\pi\epsilon_0} \left(\frac{1}{r_1} - \frac{R}{d} \cdot \frac{1}{r_2} \right)$$

$$\mathbf{E}_p = \frac{q}{4\pi\epsilon_0 r_1^2} \mathbf{e}_{r_1} - \frac{qR}{4\pi\epsilon_0 d r_2^2} \mathbf{e}_{r_2}$$

图1.7.4 接地导体球外的电场计算

注意!

镜像电荷等于负的感应电荷

镜像电荷不能放在当前求解的场域内。

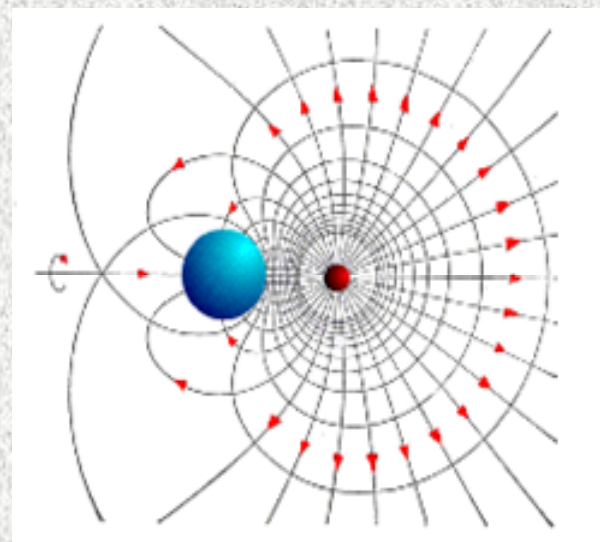
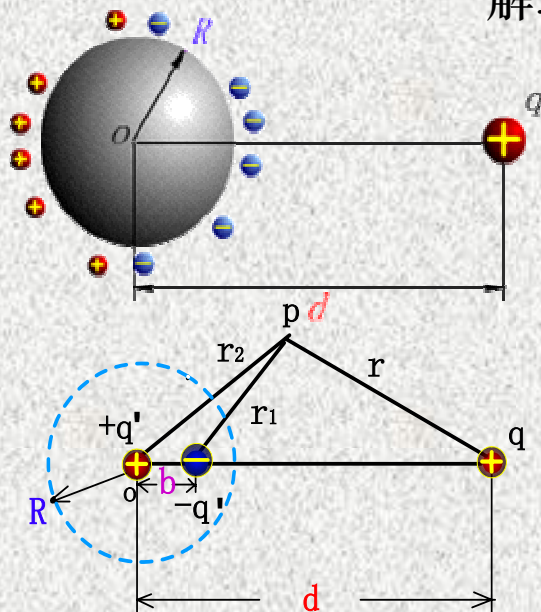


图1.7.5 点电荷位于接地导体球附近的场图

例1.7.2 试计算不接地金属球附近放置一点电荷 时的电场分布。

解: 边值问题:



$$\nabla^2 \varphi = 0 \quad (\text{除 } q \text{ 点外的导体球外空间})$$

$$\varphi \Big|_{r \rightarrow \infty} = 0$$

$$\varphi \Big|_{\text{球面 } s} = \text{常数} \neq 0$$

$$\oint_S \mathbf{D} \cdot d\mathbf{S} = 0 \quad (S \text{ 为球面面积})$$

在接地球的基础上判断镜像电荷的个数、大小与位置

- 感应电荷分布及球对称性, 在球内有两个等效电荷。
- $\oint_S \mathbf{D} \cdot d\mathbf{S} = 0$, 正负镜像电荷绝对值相等。
- $\varphi \Big|_S = \text{const} \neq 0$, 正镜像电荷只能位于球心。

图1.7.6 点电荷对不接地金属球的镜像

任一点电位及电场强度为:

$$\varphi = \frac{1}{4\pi\epsilon_0} \left(\frac{q}{r} - \frac{q'}{r_1} + \frac{q'}{r_2} \right) = \frac{q}{4\pi\epsilon_0} \left(\frac{1}{r} - \frac{R}{dr_1} + \frac{R}{dr_2} \right)$$

$$\mathbf{E} = \frac{q}{4\pi\epsilon_0} \left(\frac{1}{r^2} \mathbf{e}_r - \frac{R}{dr_1^2} \mathbf{e}_{r_1} + \frac{R}{dr_2^2} \mathbf{e}_{r_2} \right)$$

3. 不同介质分界面的镜像

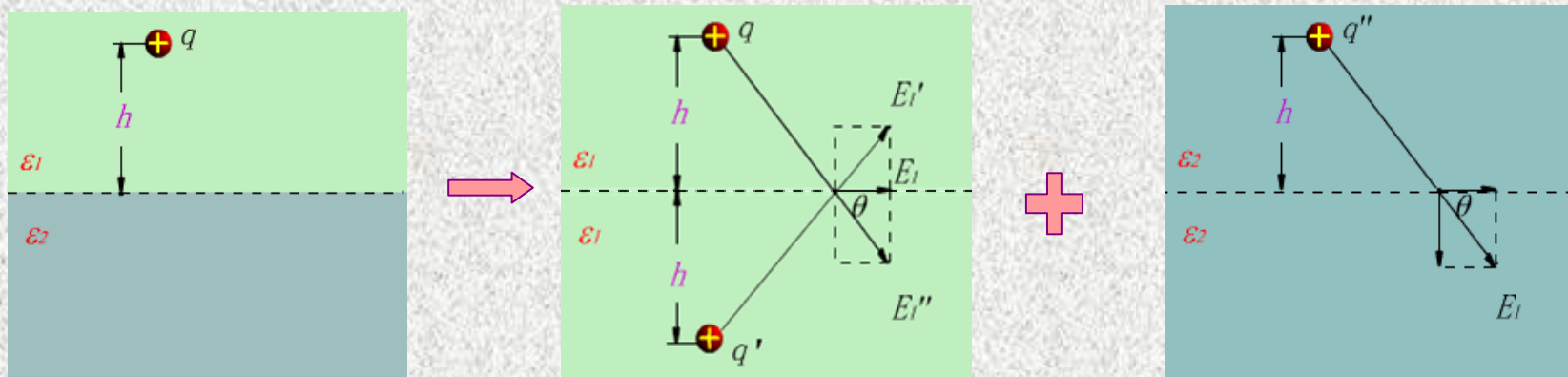


图1.7.9 点电荷对无限大介质分界面的镜像

边值问题：

$$\nabla^2 \varphi_1 = 0 \quad (\text{除 } q \text{ 点外的上半空间}) \qquad \nabla^2 \varphi_2 = 0 \quad (\text{下半空间})$$

$$E_{1t} = E_{2t} \quad \longrightarrow \quad \frac{q}{4\pi\epsilon_1 r^2} \cos\theta + \frac{q'}{4\pi\epsilon_1 r^2} \cos\theta = \frac{q''}{4\pi\epsilon_2 r^2} \cos\theta$$

$$D_{1n} = D_{2n} \quad \longrightarrow \quad \frac{q}{4\pi\epsilon_1 r^2} \sin\theta - \frac{q'}{4\pi\epsilon_1 r^2} \sin\theta = \frac{q''}{4\pi\epsilon_2 r^2} \sin\theta$$

$$\begin{cases} \frac{q}{\epsilon_1} + \frac{q'}{\epsilon_1} = \frac{q''}{\epsilon_2} \\ q - q' = q'' \end{cases}$$

$$q' = \frac{\epsilon_1 - \epsilon_2}{\epsilon_1 + \epsilon_2} q$$

和

$$q'' = \frac{2\epsilon_2}{\epsilon_1 + \epsilon_2} q$$

- ϵ_1 中的电场是由 q 与 q' 共同产生，其有效区在上半空间， q' 是等效替代极化电荷的影响。
- ϵ_2 中的电场是由 q'' 决定，其有效区在下半空间， q'' 是等效替代自由电荷与极化电荷的作用。

即
$$q'' = q - q' = q - \frac{\epsilon_1 - \epsilon_2}{\epsilon_2 + \epsilon_1} q = \frac{2\epsilon_2}{\epsilon_2 + \epsilon_1} q$$

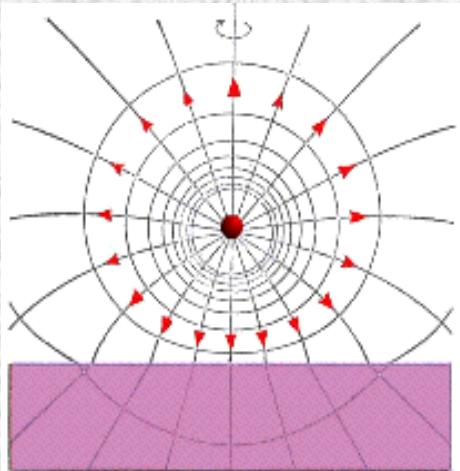
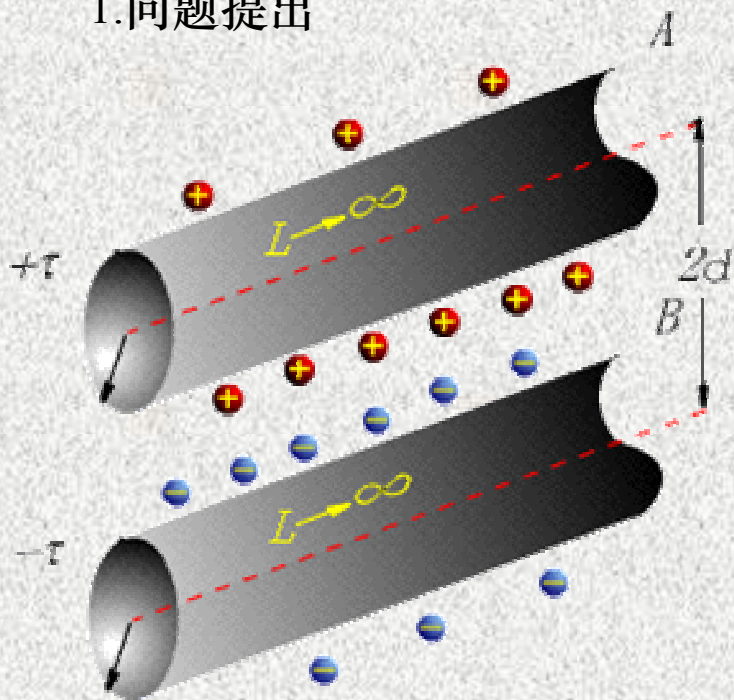


图1.7.10 点电荷 位于不同介质平面上方的场图

1.7.2 电轴法

1.问题提出



边值问题:

$$\nabla^2 \varphi = 0 \quad (\text{导线以外的空间})$$

$$\varphi|_{\text{导体A}} = \text{常数}$$

$$\oint_S \mathbf{D} \cdot d\mathbf{S} = \tau, \quad \text{电荷分布不均匀}$$

$$\varphi|_{\text{导体B}} = \text{常数}$$

$$\oint_S \mathbf{D} \cdot d\mathbf{S} = -\tau, \quad \text{电荷分布不均匀}$$

1.7.12 长直平行圆柱导体传输线

根据唯一性定理，寻找等效线电荷——电轴。

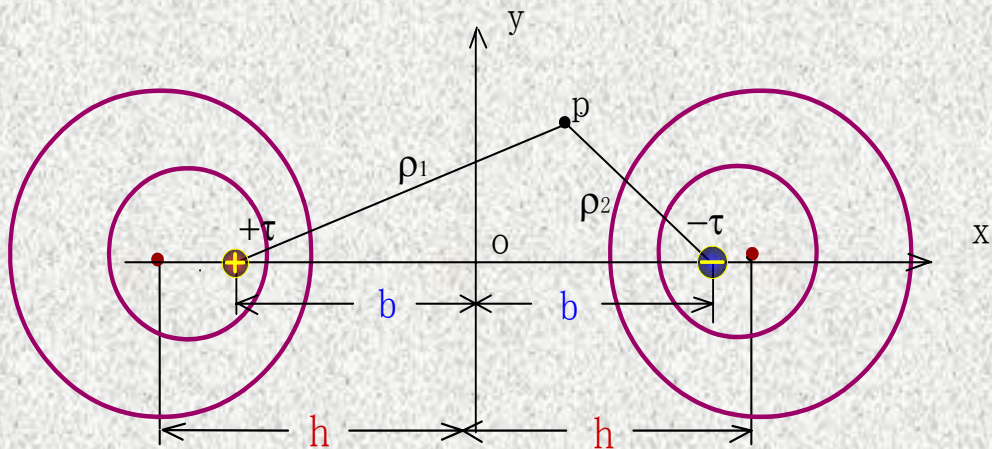


图1.7.13 两根细导线的电场计算

2. 两根细导线产生的电场

$$\varphi_1 = \int_{\rho_1}^Q \frac{\tau}{2\pi\epsilon_0\rho} d\rho = -\frac{\tau}{2\pi\epsilon_0} \ln \rho_1 + C_1$$

$$\varphi_2 = -\frac{-\tau}{2\pi\epsilon_0} \ln \rho_2 + C_2$$

$$\varphi_P = \varphi_1 + \varphi_2 = \frac{\tau}{2\pi\epsilon_0} \ln \frac{\rho_2}{\rho_1} + C$$

以y轴为参考点, $C=0$, 则

$$\begin{aligned} \varphi_P &= \frac{\tau}{2\pi\epsilon_0} \ln \frac{\rho_2}{\rho_1} \\ &= \frac{\tau}{2\pi\epsilon_0} \ln \frac{\sqrt{(x+b)^2 + y^2}}{\sqrt{(x-b)^2 + y^2}} \end{aligned}$$

等位线方程为:

$$\left(x - \frac{K^2 + 1}{K^2 - 1}b\right)^2 + y^2 = \left(\frac{2bK}{K^2 - 1}\right)^2$$

圆心坐标 $\left[h(=\frac{K^2 + 1}{K^2 - 1}b), 0\right]$, **圆半径** $a = \left|\frac{2bK}{K^2 - 1}\right|$

当K取不同数值时,就得到一族偏心圆。

a、h、b三者之间的关系满足

$$a^2 + b^2 = \left(\frac{2bK}{K^2 - 1}\right)^2 + b^2 = \left(\frac{K^2 + 1}{K^2 - 1}b\right)^2 = h^2$$

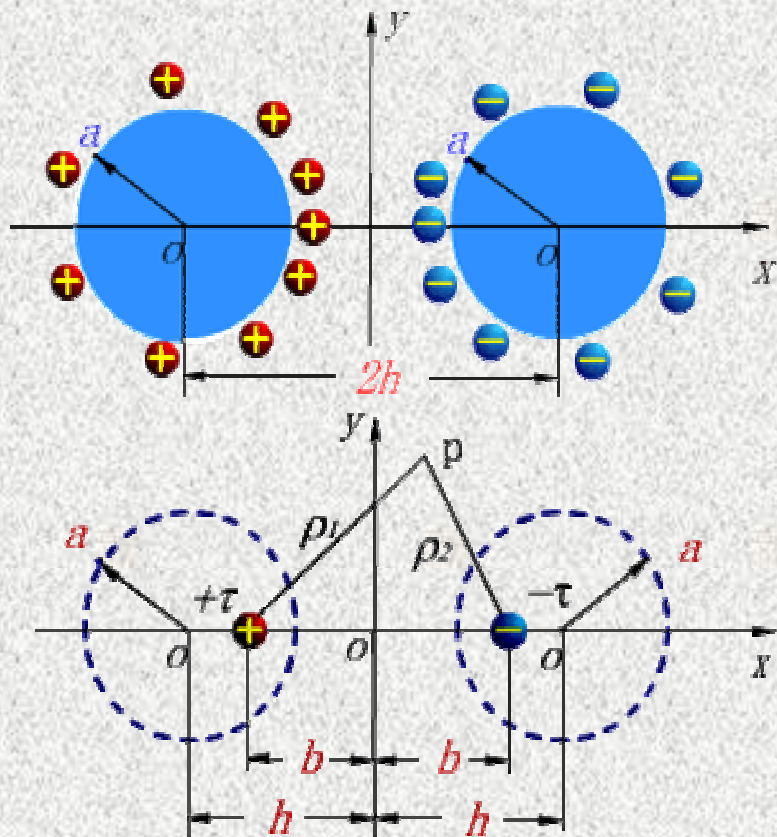
令: $\varphi_P = \text{常数}$

$$\frac{(x+b)^2 + y^2}{(x-b)^2 + y^2} = K^2$$

3. 电轴法

用置于电轴上的等效线电荷,来代替圆柱导体面上分布电荷,从而求得电场的方法,称为电轴法。

例1.7.3 试求图示两带电长直平行圆柱导体传输线的电场及电位分布。



解:

a) 建立坐标系, 确定电轴位置:

$$b = \sqrt{h^2 - a^2}$$

b) 圆柱导线间的电场与电位:

$$\mathbf{E}_P = \frac{\tau}{2\pi\epsilon_0} \left(\frac{1}{\rho_1} \mathbf{e}_{\rho_1} - \frac{1}{\rho_2} \mathbf{e}_{\rho_2} \right)$$

$$\varphi_P = \frac{\tau}{2\pi\epsilon_0} \ln \frac{\rho_2}{\rho_1}$$

(以 轴为电位为参考点)

图1.7.15 平行圆柱导体传输线电场的计算

例1.7.4 已知两根不同半径,相互平行,轴线距离为 d 的带电长直圆柱导体。试决定电轴位置。

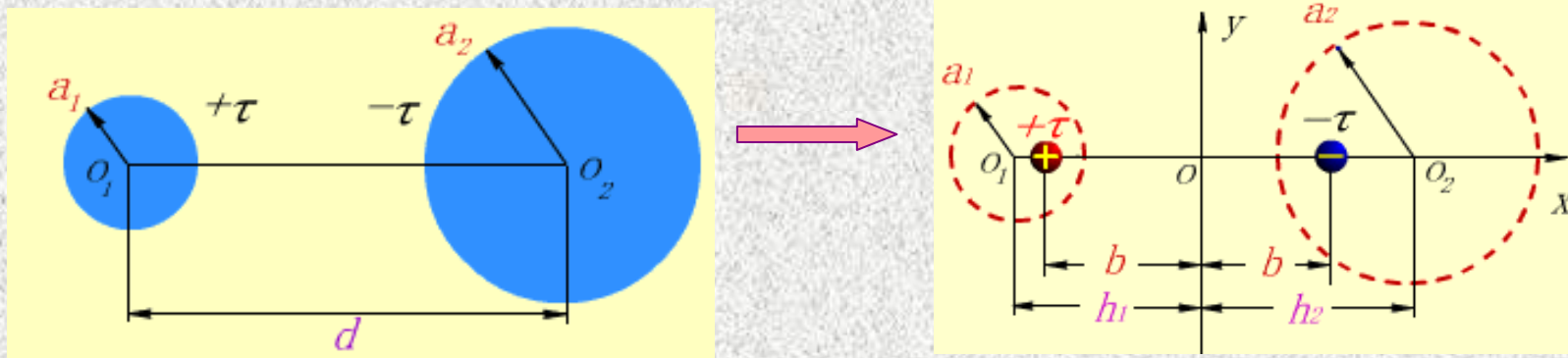


图1.7.16 不同半径传输线的电轴位置

解:
$$\begin{cases} b^2 = h_1^2 - a_1^2 \\ b^2 = h_2^2 - a_2^2 \\ d = h_1 + h_2 \end{cases} \Rightarrow \text{确定 } b, h_1, h_2$$

例1.7.5 试确定图示偏心电缆的电轴位置。

解:
$$\begin{cases} h_1^2 = a_1^2 + b^2 \\ h_2^2 = a_2^2 + b^2 \\ h_2 - h_1 = d \end{cases} \Rightarrow \text{确定 } b, h_1, h_2$$

注意: 1) 参考电位的位置; 2) 适用区域。

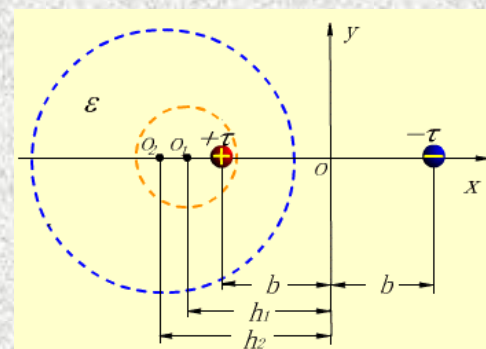
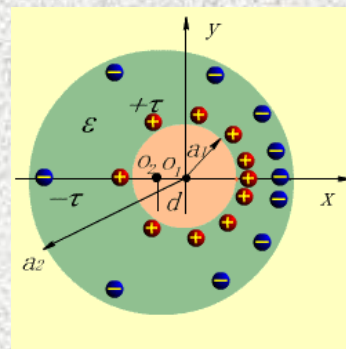


图1.7.17 偏心电缆电轴位置

例1.7.6 已知一对半径为 a ,相距为 d 的长直圆柱导体传输线之间电压为 U_0 , 试求圆柱导体间电位的分布。

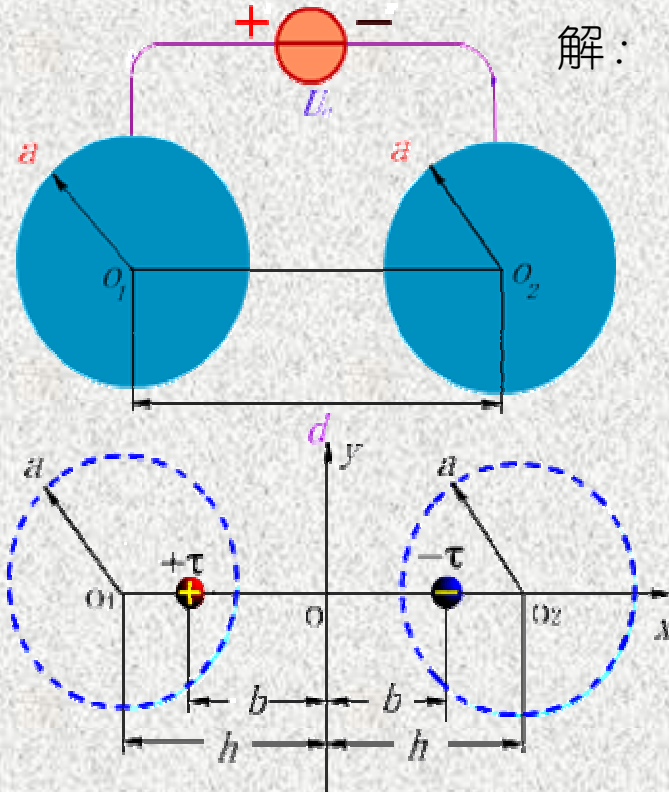


图1.7.18 电压为 U_0 的传输线电场的计算

解: a)确定电轴的位置

$$\begin{cases} b^2 = h^2 - a^2 \\ d^2 = 2h \end{cases} \quad \text{解得} \quad b = \sqrt{\left(\frac{d}{2}\right)^2 - a^2}$$

b) 设电轴线电荷为 $\pm\tau$,场中任一点电位为

$$\varphi = \frac{\tau}{2\pi\epsilon_0} \ln \frac{\rho_2}{\rho_1}$$

由 $U_0 = \varphi_A - \varphi_B$ 解出 τ :

$$U_0 = \frac{\tau}{2\pi\epsilon_0} \ln \frac{b+(h-a)}{b-(h-a)} - \frac{\tau}{2\pi\epsilon_0} \ln \frac{b-(h-a)}{b+(h-a)}$$

c) 场中任一点 P 的电位

$$\varphi_P = \frac{U_0}{2 \ln \frac{b+(h-a)}{b-(h-a)}} \ln \frac{\rho_2}{\rho_1}$$

$$\frac{\tau}{2\pi\epsilon_0} = \frac{U_0}{2 \ln \frac{b+(h-a)}{b-(h-a)}}$$

镜像法（电轴法）小结

- ✦ 镜像法（电轴法）的理论基础是静电场唯一性定理；
- ✦ 镜像法（电轴法）的实质是用虚设的镜像电荷（电轴）替代未知电荷的分布，使计算场域为无限大均匀介质；
- ✦ 镜像法（电轴法）的关键是确定镜像电荷（电轴）的个数（根数），大小及位置；

应用镜像法（电轴法）解题时，注意：镜像电荷（电轴）只能放在待求场域以外的区域。叠加时，要注意场的适用区域。

8. 电容与部分电容

1 电容

定义: $C = \frac{Q}{U}$ 单位: (F 法拉), μF , pF

电容只与两导体的几何形状、尺寸、相互位置及导体周围的介质有关。

工程上的实际电容: [电力电容器](#), 电子线路用的各种小电容器。

电容的计算思路:

a. 设 $Q(-Q)$ $\xrightarrow{\text{高斯定律}}$ $E \xrightarrow{\int E \cdot dl}$ $U = U(Q) \longrightarrow C = \frac{Q}{U}$

b. 设 U $\xrightarrow{\text{解边值问题}}$ $\varphi \xrightarrow{E = -\nabla \varphi}$ $E \xrightarrow{\text{边界条件 } \sigma}$ $\int_S \sigma ds \longrightarrow Q = Q(U) \longrightarrow C$

例2.8.1 试求球形电容器的电容。

解：设内导体的电荷为 q 则 $\oint_S \mathbf{D} \cdot d\mathbf{S} = q$,

$$\mathbf{D} = \frac{q}{4\pi r^2} \mathbf{e}_r, \quad \mathbf{E} = \frac{q}{4\pi\epsilon_0 r^2} \mathbf{e}_r$$

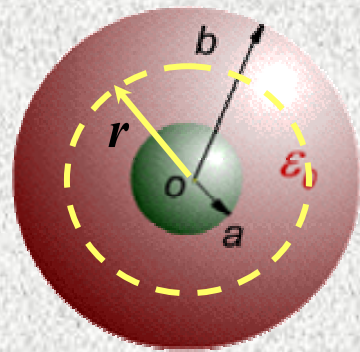


图2.8.1 球形电容器

同心导体间的电压

$$U = \int_a^b \mathbf{E} \cdot d\mathbf{r} = \frac{q}{4\pi\epsilon_0} \left(\frac{1}{a} - \frac{1}{b} \right) = \frac{q}{4\pi\epsilon_0} \cdot \frac{b-a}{ab}$$

球形电容器的电容

$$C = \frac{q}{U} = \frac{4\pi\epsilon_0 ab}{b-a}$$

当 $b \rightarrow \infty$ 时 $C = 4\pi\epsilon_0 a$ (孤立导体球的电容)

2 多导体系统、部分电容

1 多导体系统

- 线性、多导体(三个以上导体)组成的系统;
- 静电独立系统—— D 线从这个系统中的带电体发出, 并终止于该系统中的其余带电体, 与外界无任何联系, 即

$$\sum_{k=0}^n q_k = 0.$$

2 部分电容概念

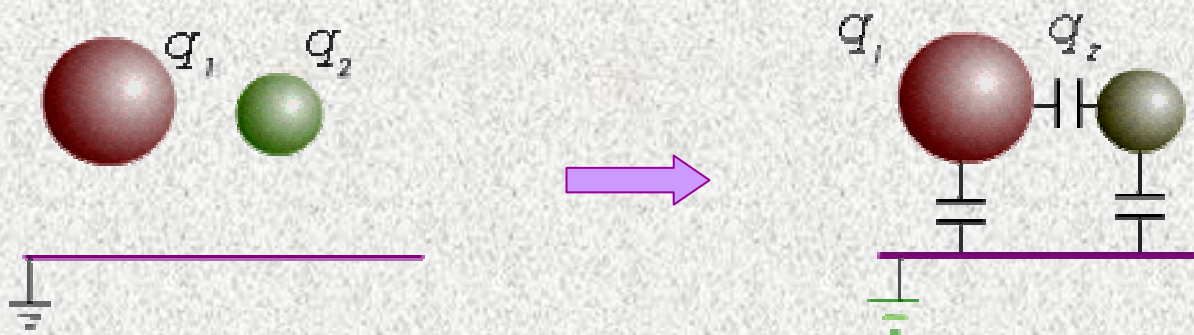


图2.8.2 三导体静电独立系统

I. 已知导体的电荷, 求电位和电位系数

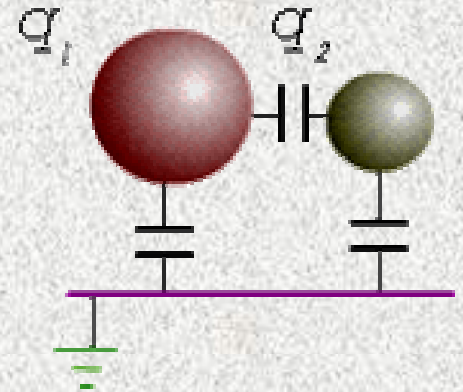
以接地导体为电位参考点, 导体的电位与各导体上的电荷的关系为

$$\varphi_{10} = a_0 q_0 + a_1 q_1 + a_2 q_2 \quad \varphi_{20} = b_0 q_0 + b_1 q_1 + b_2 q_2$$

$$\because q_0 = -(q_1 + q_2)$$

$$\therefore \varphi_{10} = \alpha_{11} q_1 + \alpha_{12} q_2$$

$$\varphi_{20} = \alpha_{21} q_1 + \alpha_{22} q_2$$



以此类推 $(n+1)$ 个多导体系统只有 n 个电位线性独立方程，即

$$\varphi_1 = \alpha_{11}q_1 + \alpha_{12}q_2 + \cdots + \alpha_{1i}q_i + \cdots + \alpha_{1N}q_N$$

.....

$$\varphi_i = \alpha_{i1}q_1 + \alpha_{i2}q_2 + \cdots + \alpha_{ii}q_i + \cdots + \alpha_{iN}q_N$$

.....

$$\varphi_N = \alpha_{N1}q_1 + \alpha_{N2}q_2 + \cdots + \alpha_{Ni}q_i + \cdots + \alpha_{NN}q_N$$

$$q_0 = -(q_1 + q_2 + \cdots + q_i + \cdots + q_N) \quad (\text{非独立方程})$$

写成矩阵形式为 $[\varphi] = [\alpha] [q]$

α —— 电位系数，表明导体电荷对导体电位的贡献；

$\alpha_{i,i}$ —— 自有电位系数，表明导体 i 上电荷对导体 i 电位的贡献；

$\alpha_{i,j}$ —— 互有电位系数，表明导体 j 上的电荷对导体 i 电位的贡献；

α 的性质；

1. $\alpha > 0$ ；
2. $\alpha_{ij} < \alpha_{ii} > \alpha_{ji}$ ；
3. $\alpha_{ij} = \alpha_{ji}$

α 的值可以通过给定各导体电荷 q , 计算各导体的电位 φ 而得。

$$\varphi_1 = \alpha_{11}q_1 + \alpha_{12}q_2 + \cdots + \alpha_{1i}q_i + \cdots + \alpha_{1N}q_N$$

.....

$$\varphi_i = \alpha_{i1}q_1 + \alpha_{i2}q_2 + \cdots + \alpha_{ii}q_i + \cdots + \alpha_{iN}q_N$$

.....

$$\varphi_N = \alpha_{N1}q_1 + \alpha_{N2}q_2 + \cdots + \alpha_{Ni}q_i + \cdots + \alpha_{NN}q_N$$

$$\alpha_{ii} = \left. \frac{\varphi_i}{q_i} \right|_{q_1=q_2=\cdots=q_{i-1}=q_{i+1}=\cdots=q_N=0, q_i=-q_0}$$

$$\alpha_{ij} = \left. \frac{\varphi_i}{q_j} \right|_{q_1=q_2=\cdots=q_{j-1}=q_{j+1}=\cdots=q_N=0, q_j=-q_0}$$

II 已知带电导体的电位，求电荷和感应系数

$$[q] = [\alpha]^{-1}[\varphi] = [\beta][\varphi] \quad [\beta] = [\alpha]^{-1}$$

$$q_1 = \beta_{11}\varphi_1 + \beta_{12}\varphi_2 + \cdots + \beta_{1i}\varphi_i + \cdots + \beta_{1N}\varphi_N$$

.....

$$q_i = \beta_{i1}\varphi_1 + \beta_{i2}\varphi_2 + \cdots + \beta_{ii}\varphi_i + \cdots + \beta_{iN}\varphi_N$$

.....

$$q_N = \beta_{N1}\varphi_1 + \beta_{N2}\varphi_2 + \cdots + \beta_{Ni}\varphi_i + \cdots + \beta_{NN}\varphi_N$$

β (单位: 库/伏) : 静电感应系数, 表示导体电位对导体电荷的贡献;

β_{ii} : 自有感应系数, 表示导体 i 电位对导体 i 电荷的贡献;

β_{ij} : 互有感应系数, 表示导体 j 电位对导体 i 电荷的贡献。

β 的性质;

1. $\beta_{ii} > 0;$

2. $\beta_{ij} < 0;$

3. $\beta_{ij} = \beta_{ji};$

4. $|\beta_{ij}| < \beta_{ii} > |\beta_{ji}|$

通常， β 的值可以通过给定各导体的电位 φ ，测量各导体的电荷 q 而得。

$$q_1 = \beta_{11}\varphi_1 + \beta_{12}\varphi_2 + \cdots + \beta_{1i}\varphi_i + \cdots + \beta_{1N}\varphi_N$$

.....

$$q_i = \beta_{i1}\varphi_1 + \beta_{i2}\varphi_2 + \cdots + \beta_{ii}\varphi_i + \cdots + \beta_{iN}\varphi_N$$

.....

$$q_N = \beta_{N1}\varphi_1 + \beta_{N2}\varphi_2 + \cdots + \beta_{Ni}\varphi_i + \cdots + \beta_{NN}\varphi_N$$

$$\beta_{ii} = \left. \frac{q_i}{\varphi_i} \right|_{\varphi_1 = \varphi_2 = \cdots = \varphi_{i-1} = \varphi_{i+1} = \cdots = \varphi_N = 0}$$

$$\beta_{ij} = \left. \frac{q_i}{\varphi_j} \right|_{\varphi_1 = \varphi_2 = \cdots = \varphi_{j-1} = \varphi_{j+1} = \cdots = \varphi_N = 0}$$

III 已知带电导体间的电压，求电荷和部分电容

$$q_1 = \beta_{11}\varphi_1 + \beta_{12}\varphi_2 + \cdots + \beta_{1i}\varphi_i + \cdots + \beta_{1N}\varphi_N$$

如果将电荷与电位的关系表示成电荷与电压的关系，有

$$q_1 = (\beta_{11} + \beta_{12} + \cdots + \beta_{1N})(\varphi_1 - 0) - \beta_{12}(\varphi_1 - \varphi_2) \\ - \beta_{13}(\varphi_1 - \varphi_3) - \cdots - \beta_{1N}(\varphi_1 - \varphi_N)$$

$(\varphi_1 - 0)$ 是1号导体与大地之间的电压。令

$$C_{10} = \beta_{11} + \beta_{12} + \cdots + \beta_{1N} \quad C_{12} = -\beta_{12}, \quad C_{13} = -\beta_{13}, \quad \dots, \quad C_{1N} = -\beta_{1N}$$

则 $q_1 = C_{10}U_{10} + C_{12}U_{12} + C_{13}U_{13} + \cdots + C_{1N}U_{1N}$

得方程组

$$q_1 = C_{10}U_{10} + \cdots + C_{1i}U_{1i} + \cdots + C_{1N}U_{1N}$$

.....

$$q_i = C_{i1}U_{i1} + \cdots + C_{i0}U_{i0} + \cdots + C_{iN}U_{iN}$$

.....

$$q_N = C_{N1}U_{N1} + \cdots + C_{Ni}U_{Ni} + \cdots + C_{N0}U_{N0}$$

$$[q] = [C][U] \quad (\text{矩阵形式})$$

式中： C ——部分电容，它表明各导体间电压对各导体电荷的贡献；

$$C_{i1} = -\beta_{i1}, C_{i2} = -\beta_{i2}, \dots, C_{iN} = -\beta_{iN} \quad (\text{互有部分电容}) ;$$

$$C_{i0} = (\beta_{i1} + \beta_{i2} + \dots + \beta_{ii} + \dots + \beta_{iN}) \quad (\text{自有部分电容}) 。$$

部分电容性质：

- 所有部分电容都是正值，且仅与导体的形状、尺寸、相互位置及介质的 ε 值有关；
- 互有部分电容 $C_{ij} = C_{ji}$ ，即 $[C]$ 为对称阵；
- $(n+1)$ 个导体静电独立系统中，共应有 $\frac{n(n+1)}{2}$ 个部分电容；
- 部分电容是否为零，取决于两导体之间有否电力线相连。

静电网络与等效电容

例2.8.2 试计算考虑大地影响时，二线传输线的各部分电容及二线输电线的等效电容。已知 $d \gg a$ 如图示 h

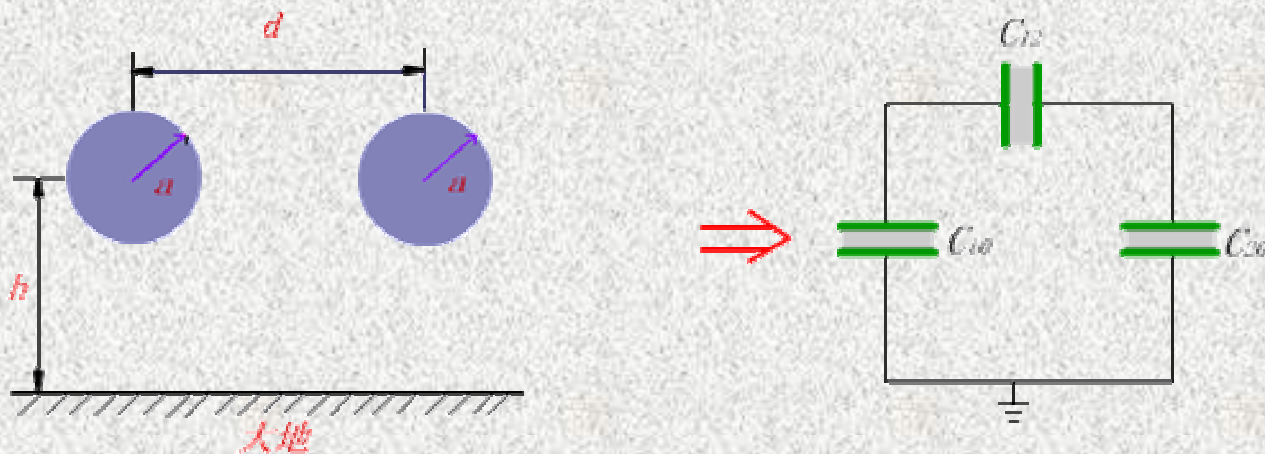


图2.8.3 两线输电线及其电容网络

解：部分电容个数 $\frac{n(n+1)}{2} = \frac{2(2+1)}{2} = 3$ ，如图所示。

由对称性得 $C_{10} = C_{20}$ ， $C_{12} = C_{21}$

线电荷与电位的关系为

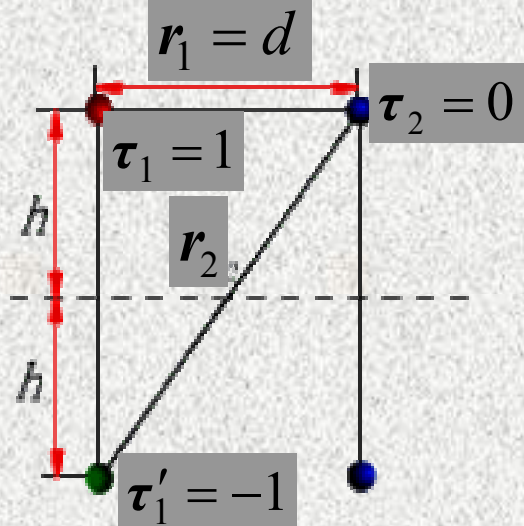
$$\tau_1 = C_{10}\varphi_1 + C_{12}(\varphi_1 - \varphi_2)$$

$$\tau_2 = C_{21}(\varphi_2 - \varphi_1) + C_{20}\varphi_2$$

令 $\tau_1 = 1, \tau_2 = 0$, 则

$$\begin{cases} 1 = C_{10}\varphi_1 + C_{12}(\varphi_1 - \varphi_2) \\ 0 = C_{12}(\varphi_2 - \varphi_1) + C_{20}\varphi_2 \end{cases} \quad (2)$$

利用镜像法, 输电线两导体的电位 ($\varphi = \frac{\tau}{2\pi\epsilon_0} \ln \frac{r_2}{r_1}$, $d \gg a$) 为



$$\begin{cases} \varphi_1 = \frac{1}{2\pi\epsilon_0} \ln \frac{2h}{a} \\ \varphi_2 = \frac{1}{2\pi\epsilon_0} \ln \frac{\sqrt{4h^2 + d^2}}{d} \end{cases} \quad (3)$$

图2.8.4 两线输电线对大地的镜像

将 (3) 式代入 (2) 式得

$$\begin{cases} 1 = C_{10} \cdot \frac{1}{2\pi\epsilon_0} \ln \frac{2h}{a} + C_{12} \cdot \frac{1}{2\pi\epsilon_0} \ln \frac{2hd}{a\sqrt{4h^2 + d^2}} \\ 0 = C_{21} \cdot \frac{1}{2\pi\epsilon_0} \ln \frac{a\sqrt{4h^2 + d^2}}{2hd} + C_{20} \cdot \frac{1}{2\pi\epsilon_0} \ln \frac{\sqrt{4h^2 + d^2}}{d} \end{cases}$$

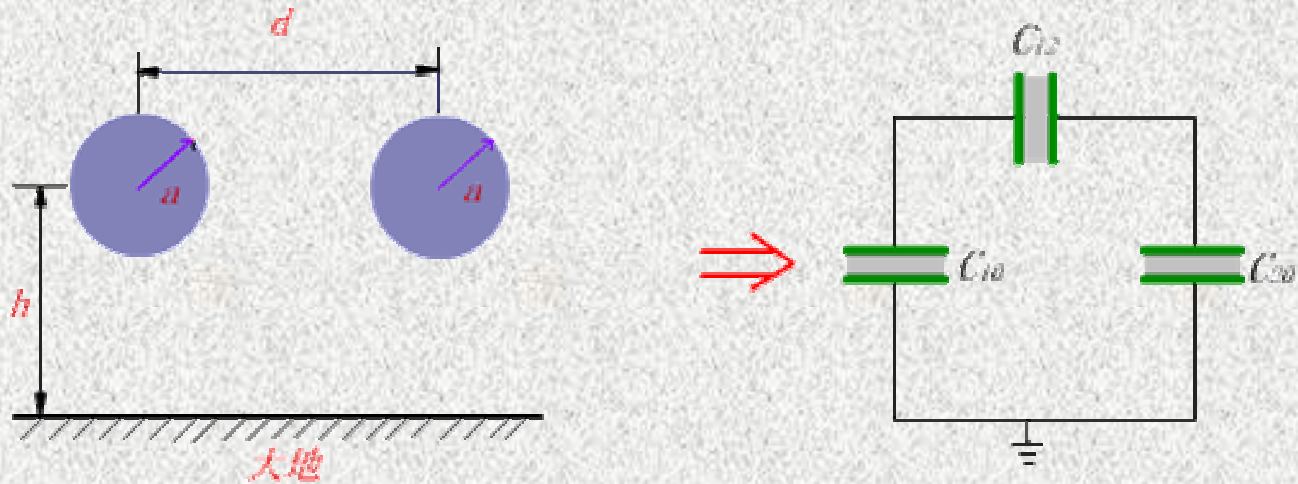


图2.8.5 两线输电线及其电容网络

联立解之得

$$C_{10} = C_{20} = \frac{2\pi\epsilon_0}{\ln \frac{2h\sqrt{4h^2 + d^2}}{ad}} \quad C_{12} = C_{21} = \frac{2\pi\epsilon_0 \ln \frac{\sqrt{4h^2 + d^2}}{d}}{\left(\ln \frac{2h}{a}\right)^2 - \left(\ln \frac{\sqrt{4h^2 + d^2}}{d}\right)^2}$$

二线间的等效电容:

$$C_{eq} = C_{12} + \frac{C_{10}C_{20}}{C_{10} + C_{20}} = \frac{2\pi\epsilon_0}{\ln\left(\frac{2h}{d} \cdot \frac{d}{\sqrt{4h^2 + d^2}}\right)}$$

综上所述，多导体系统电荷与电位间关系，可以通过三套系数，即来表示 $[\alpha]$, $[\beta]$, $[C]$ 。三者相比， α 易于计算， β 便于测量， C 可通过 α 计算，也可直接测定，其主要优点是可以将场的概念和路的概念联系起来，

即 静电场问题



静电电容的网络问题。

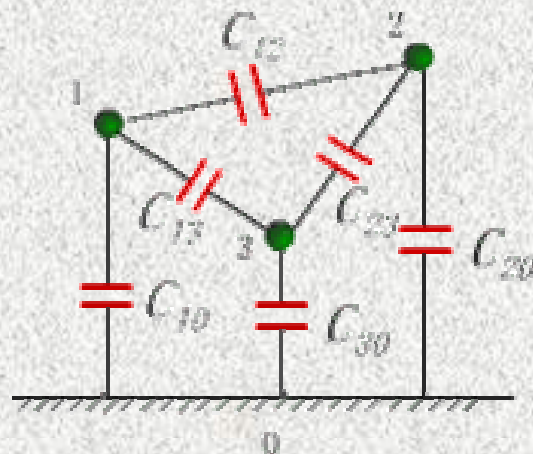
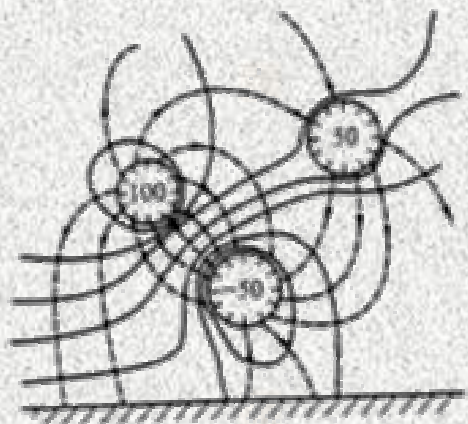


图2.8.7 部分电容与电容网络

工程上，常引入等效电容的概念，它是指在多导体静电独立系统中，把两导体作为电容器的两个极板，设在这两个电极间加上已知电压 U ，极板上所带电荷为 $\pm q$ ，则把比值 q/U 叫做这两导体的等效电容或工作电容。

9. 静电能量与力

1 静电能量

1. 带电体系统中的静电能量

静电能量是在电场的建立过程中，由外力做功转化而来的。

1) 连续分布电荷系统的静电能量

假设：

- 电荷系统中的介质是线性的；
- 建立电场过程缓慢（忽略动能与能量辐射）。
- 电场的建立与充电过程无关，导体上电荷与电位的最终值为 q 、 φ ，在充电过程中， q 与 φ 的增长比例为 m ，且 $0 \leq m \leq 1$ 。

因此，在充电过程中外力所作的功将全部转化为静电能量，并且在充电过程的任一时刻的电场均可视为静电场。

t' 时刻，场中 P 点的电位为 $\varphi'(x, y, z)$ 若将电荷增量 dq 从无穷远处移至该点，

$$\text{外力作功} \quad \delta A = \varphi'(x, y, z) dq$$

这个功转化为静电能量储存在电场中。 t' 时刻电荷密度与电荷增量为

$$d\rho' = d[m\rho(x, y, z)] = \rho(x, y, z) dm, \quad dq = d\rho' dV = \rho dm dV$$

$$\text{电位为} \quad \varphi'(x, y, z) = m \varphi(x, y, z)$$

所以， t' 时刻外力做的元功转化为电场能量的增量为

$$dW_e = dA = \int_V \varphi' dq = \int_V m \varphi \cdot \rho dm dV$$

$$\text{故} \quad W_e = A = \int \varphi' dq = \int_0^1 m dm \int_V \rho \varphi dV = \frac{1}{2} \int_V \rho \varphi dV$$

体电荷系统的静电能量

$$W_e = \frac{1}{2} \int_V \rho \varphi dV$$

面电荷系统

$$W_e = \frac{1}{2} \int_S \sigma \varphi dS$$

线电荷系统

$$W_e = \frac{1}{2} \int_L \tau \varphi dl$$

2) 带电导体系统

$$W_e = \frac{1}{2} \int_S \sigma \varphi dS = \frac{1}{2} \sum_{K=1}^n \varphi_K \int_{S_K} \sigma_K dS = \frac{1}{2} \sum_{K=1}^n \varphi_K q_K$$

即

$$W_e = \frac{1}{2} \sum_{K=1}^n \varphi_K q_K$$

特例：带等值异号的两导体（电容器），设 $q_2 = -q_1$

$$\begin{aligned} \text{有 } W_e &= \frac{1}{2} \sum_{K=1}^2 \varphi_K q_K = \frac{1}{2} (\varphi_1 q_1 + \varphi_2 q_2) \\ &= \frac{1}{2} q_1 (\varphi_1 - \varphi_2) = \frac{1}{2} q_1 U_{12} = \frac{1}{2} qU \\ &= \frac{1}{2} C U^2 = \frac{q^2}{2C} \end{aligned}$$

$$\text{所以 } C = \frac{q^2}{2W_e} = \frac{2W_e}{U^2}$$



讨论与引伸

$$W_e = \frac{1}{2} \int_S \varphi dq \qquad W_e = \frac{1}{2} \sum_{K=1}^n \varphi_K q_K$$

- 式中 φ 是元电荷所在处的电位，积分对源进行。
- φ_k 是所有导体（含 k 号导体）表面上的电荷在 k 号导体产生的电位。

- 自有能与互有能的概念

$$W_e = W_{\text{自}} + W_{\text{互}}$$

自有能是将许多元电荷 dq “压紧” 构成 q 所需作的功。互有能是由于多个带电体之间的相互作用引起的能量。

例如空间中两带电体，单独存在时，导体的电位、电荷分别为 φ_1, q_1 和 φ_2, q_2 。将带电体2放入带电体1的电场中，两导体的电位会发生变化，如图所示。

$$W_e = \frac{1}{2} \sum_{K=1}^n \varphi_K q_K = \frac{1}{2} [q_1(\varphi_1 + \Delta\varphi_1) + q_2(\varphi_2 + \Delta\varphi_2)]$$

$$= \frac{1}{2} (q_1\varphi_1 + q_2\varphi_2) + \frac{1}{2} (q_1\Delta\varphi_1 + q_2\Delta\varphi_2)$$

自有能

互有能

点电荷的自有能为无穷大。

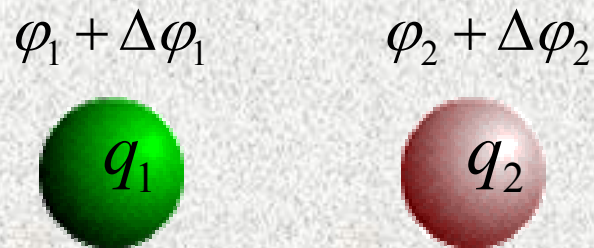


图2.9.1 推导能量用图

2. 静电能量的分布及能量体密度

$$W_e = \frac{1}{2} \int_{V'} \varphi \rho dV' + \frac{1}{2} \int_{S'} \varphi \sigma dS$$

V' ——扩大到无限空间 V , S' ——所有带电体表面。

$$W_e = \frac{1}{2} \int_V \varphi \nabla \cdot \mathbf{D} dV + \frac{1}{2} \int_{S'} \varphi \mathbf{D} \cdot d\mathbf{S}$$

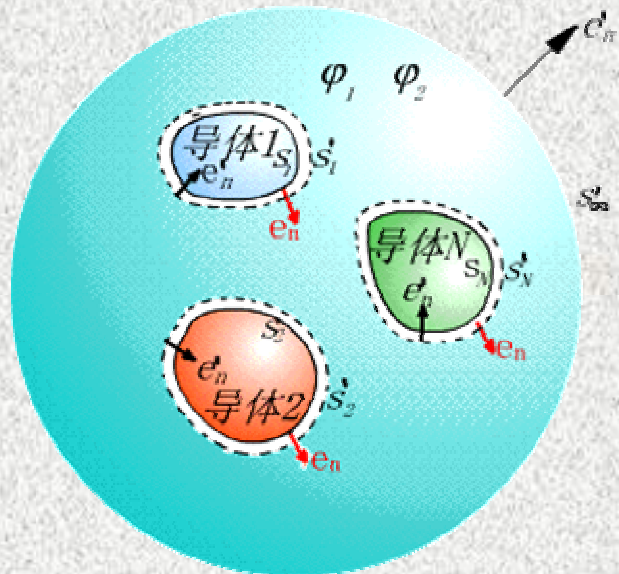


图2.9.2 推导能量密度用图

由矢量恒等式 $\varphi \nabla \cdot \mathbf{D} = \nabla \cdot (\varphi \mathbf{D}) - \mathbf{D} \cdot \nabla \varphi$ 得

$$W_e = \frac{1}{2} \int_V \nabla \cdot (\varphi \mathbf{D}) dV + \frac{1}{2} \int_V \mathbf{D} \cdot \mathbf{E} dV + \frac{1}{2} \int_S \varphi \mathbf{D} \cdot \mathbf{e}_n dS$$

对上式第一项应用散度定理 (1)

$$\frac{1}{2} \int_V \nabla \cdot (\varphi \mathbf{D}) dV = \frac{1}{2} \oint_{S+S'} \varphi \mathbf{D} \cdot d\mathbf{S} = \frac{1}{2} \int_{S'} \varphi \mathbf{D} \cdot \mathbf{e}'_n dS' + \frac{1}{2} \int_S \varphi \mathbf{D} \cdot (-\mathbf{e}_n) dS \quad (2)$$

将式(2)代入式(1),得

$$W_e = \frac{1}{2} \int_{S'} \varphi \mathbf{D} \cdot \mathbf{e}'_n dS' + \frac{1}{2} \int_V \mathbf{D} \cdot \mathbf{E} dV = \int_V \frac{1}{2} \mathbf{D} \cdot \mathbf{E} dV$$

注 $\varphi \propto \frac{1}{r}$, $D \propto \frac{1}{r^2}$, $dS \propto r^2$

静电能量

$$W_e = \int_V \frac{1}{2} \mathbf{D} \cdot \mathbf{E} dV = \int_V w_e dV \quad \mathbf{J}(\text{焦耳})$$

能量密度定义为

$$w_e = \frac{1}{2} \mathbf{D} \cdot \mathbf{E} \quad \mathbf{J}/\text{m}^3$$

结论：凡是静电场不为零的空间都储存着静电能量。

例2.9.1 试求真空中体电荷密度为 ρ ，半径为 a 的介质球产生的静电能量。

解法一 应用高斯定理，

$$\oint_S \mathbf{D} \cdot d\mathbf{S} = \int_V \rho dV \quad \longrightarrow \quad 4\pi r^2 D = \frac{4}{3} \pi r^3 \rho$$

得：

$$\mathbf{E} = \begin{cases} \frac{\rho r}{3 \varepsilon_0} \mathbf{e}_r & r < a \\ \frac{\rho a^3}{3 \varepsilon_0 r^2} \mathbf{e}_r & r > a \end{cases}$$

$$\begin{aligned} W_e &= \frac{1}{2} \int_V \mathbf{D} \cdot \mathbf{E} dV = \frac{1}{2} \int_V \varepsilon_0 E^2 dV \\ &= \frac{1}{2} \varepsilon_0 \left(\int_0^a \frac{\rho^2 r^2}{9 \varepsilon_0^2} \cdot 4\pi r^2 dr + \int_a^\infty \frac{\rho^2 a^6}{9 \varepsilon_0^2 r^4} \cdot 4\pi r^2 dr \right) = \frac{4\pi}{15 \varepsilon_0} \rho^2 a^5 \end{aligned}$$

例2.9.1 试求真空中体电荷密度为 ρ ，半径为 a 的介质球产生的静电能量。

解法二 由微分方程法得

$$\frac{1}{r^2} \cdot \frac{\partial}{\partial r} \left(r^2 \frac{\partial \varphi}{\partial r} \right) = \begin{cases} -\frac{\rho}{\varepsilon_0} & r \leq a \\ 0 & r > a \end{cases}$$

$$\varphi|_{r \rightarrow \infty} = 0, \quad \varphi|_{r \rightarrow 0} = \text{有限} \quad \varphi_1 = \varphi_2, \quad \frac{\partial \varphi_1}{\partial r} = \frac{\partial \varphi_2}{\partial r} \quad r = a$$

$$\varphi = \begin{cases} \frac{\rho a^3}{3\varepsilon_0 r} & r \geq a \\ \frac{\rho}{2\varepsilon_0} \left(a^2 - \frac{r^2}{3} \right) & r \leq a \end{cases}$$

$$W_e = \frac{1}{2} \int_V \varphi \rho dV = \frac{1}{2} \cdot \frac{\rho^2}{2\varepsilon_0} \int_0^a \left(a^2 - \frac{r^2}{3} \right) 4\pi r^2 dr = \frac{4\pi}{15\varepsilon_0} \rho^2 a^5$$

2.9.2 静电力

一个点电荷在电场中受的力

1. 由电场强度 E 的定义求静电力，即

$$f = qE$$

$$df = Edq$$

$$f = \int E dq$$

2. 虚位移法 (Virtual Displacement Method)

虚位移法是基于虚功原理计算静电力的方法。

- 广义坐标：距离、面积、体积、角度。
- 广义力：企图改变某一个广义坐标的力。广义力的正方向为广义坐标增加的方向。

二者关系：

$$\text{广义力} \times \text{广义坐标} = \text{功}$$

广义坐标 距 离 面 积 体 积 角 度

广义力 机 械 力 表 面 张 力 压 强 转 矩

(单位)

(N)

(N/m)

(N/m²)

N•m

设 $(n+1)$ 个导体组成的系统,只有 P 号导体发生位移 dg ,此时系统中带电体的电压或电荷将发生变化,其功能关系为

$$dW = dW_e + fdg = \sum \varphi_k dq_k$$

外源提供能量 = 静电能量增量 + 电场力所作功

I、常电荷系统 (K 打开) :

$$0 = dW_e + fdg$$

$$\rightarrow -fdg = dW_e$$

$$f = - \left. \frac{\partial W_e}{\partial g} \right|_{q_k = \text{const.}}$$

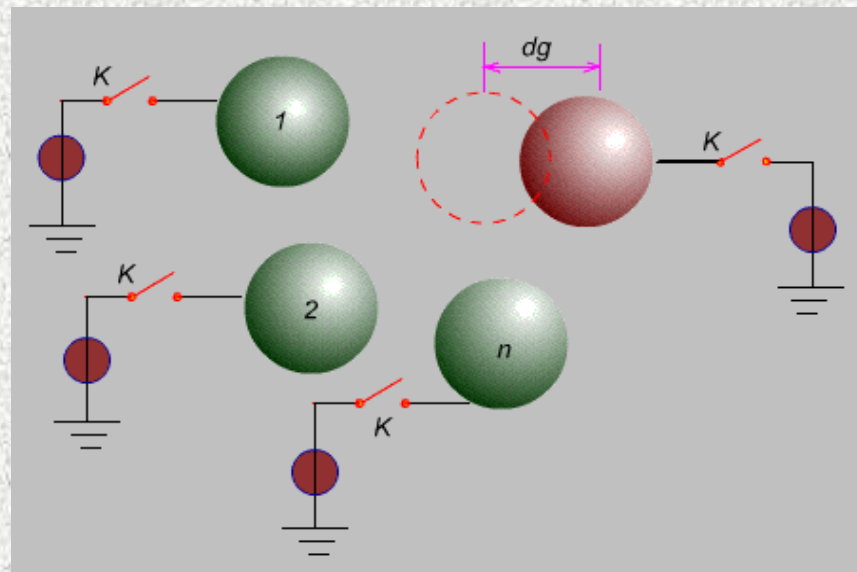


图2.9.4 多导体系统

它表示取消外源后,电场力做功必须靠减少电场中静电能量来实现。

II、常电位系统 (K合上) :

外源提供能量的增量

$$dW = \sum \varphi_k dq_k$$

静电能量的增量 $dW_e = \frac{1}{2} \sum \varphi_k dq_k$

$$\sum \varphi_k dq_k = \frac{1}{2} \sum \varphi_k dq_k + fdg$$

外源提供的能量有一半用于静电能量的增量，另一半用于电场力做功。

$$f = + \left. \frac{\partial W_e}{\partial g} \right|_{\varphi_k = \text{const.}}$$

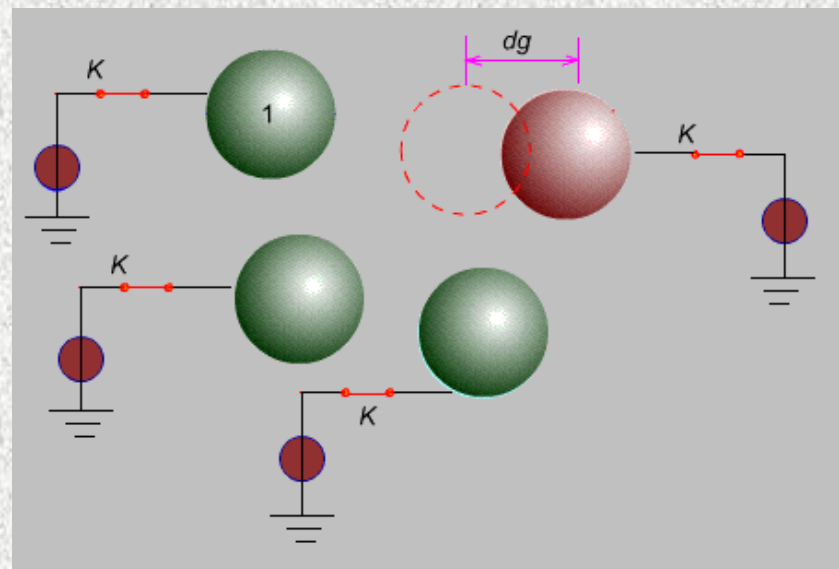


图2.9.4 多导体系统

例2.6.3 试求图示平行板电容器的电场力。

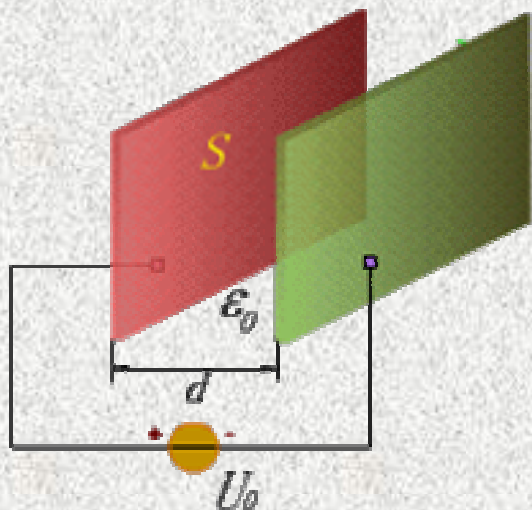


图2.9.5 平行板电容器

解法一：常电位系统

$$W_e = \frac{1}{2} CU^2 \quad C = \frac{\epsilon_0 S}{d}$$

$$f = + \frac{\partial W_e}{\partial g} \Big|_{\varphi_k = \text{const}} = \frac{U^2}{2} \cdot \frac{\partial C}{\partial d} = - \frac{U^2 \epsilon_0 S}{d^2} < 0$$

解法二：常电荷系统

$$W_e = \frac{1}{2} \cdot \frac{q^2}{C} \quad C = \frac{\epsilon_0 S}{d}$$

$$f = - \frac{\partial W_e}{\partial g} \Big|_{q_k = \text{const}} = - \frac{\partial}{\partial g} \left[\frac{q^2}{2C} \right] = \frac{q^2}{2C^2} \cdot \frac{\partial C}{\partial d} = - \frac{U^2}{2} \cdot \frac{\epsilon_0 S}{d^2} < 0$$

可见，两种方法计算结果相同，电场力有使 d 减小的趋势，即电容增大的趋势。

例2.9.4 图示一球形薄膜带电表面，半径为 a ，其上带电荷为 q ，试求薄膜单位面积所受的电场力。

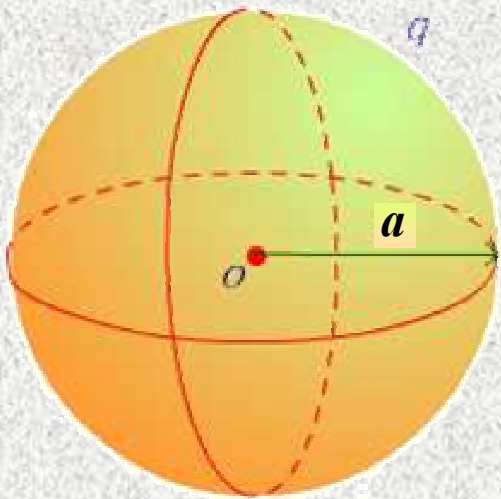


图2.9.6 球形薄膜

$$\begin{aligned} \text{解: } W_e &= \frac{1}{2} \cdot \frac{q^2}{C} & C &= 4\pi\epsilon_0 a \\ f &= - \left. \frac{\partial W_e}{\partial a} \right|_{q=\text{const}} = - \frac{\partial W_e}{\partial C} \frac{\partial C}{\partial a} \\ &= \frac{q^2}{2C^2} \frac{\partial C}{\partial a} = \frac{q^2}{8\pi\epsilon_0 a^2} > 0 \end{aligned}$$

表示广义力 f 的方向是广义坐标 a 增大的方向，即为膨胀力。

单位面积上的力：

$$f' = f / 4\pi a^2 = \left(\frac{q}{4\pi a^2} \right)^2 \cdot \frac{1}{2\epsilon_0} = \frac{1}{2} \sigma E = \frac{1}{2} \mathbf{D} \cdot \mathbf{E} \quad (\text{N/m}^2)$$